

زمین‌شناسی، کانی‌شناسی و ویژگی‌های سیال کانستگ‌ساز سامانه رگه‌ای طلدار مسجد داغی، شمال غرب ایران

سوسن ابراهیمی^{۱*}، سعید علیرضایی^۲، یوانمینگ پن^۳ و بهزاد محمدی^۴

- (۱) گروه اکتشاف معدن، دانشکده مهندسی معدن، نفت و ژئوفیزیک، دانشگاه صنعتی شاہرود، شاہرود، ایران
(۲) گروه زمین‌شناسی، دانشکده علوم زمین، دانشگاه شهید بهشتی، تهران، ایران
(۳) گروه زمین‌شناسی، دانشکده علوم زمین، دانشگاه ساسکاچوان، ساسکاچوان، کانادا
(۴) سازمان زمین‌شناسی و اکتشافات معدنی کشور، تهران، ایران

دریافت مقاله: ۱۳۹۴/۰۸/۲۵، پذیرش: ۱۳۹۵/۰۳/۱۹

چکیده

ذخیره طلای مسجد داغی در ۳۵ کیلومتری شرق جلفا و در زون ماگماتی البرز-آذربایجان قرار دارد. واحدهای سنگی شامل فلیش، تراکی آندزیت و آندزیت ائوسن و یک توده کوارتز مونزودیوریت پورفیری جوانتر است. کانی‌سازی به صورت رگه‌های کوارتز و کوارتز-باریت رخداده است. پیریت کانی هیپوژن اصلی است و با مقادیری کالکوپیریت، اسفالریت و گالن همراهی می‌شود. رگه‌های طلدار توسط زون‌های دگرسانی سیلیسی، آرژیلیک پیشرفت، آرژیلیک و پروپیلیتیک احاطه شده‌اند. داده‌های میان‌بارهای سیال کوارتز و اسفالریت مربوط به مرحله کانی‌سازی، به ترتیب نشانگر دمای همگن شدگی بین ۲۹۸-۱۲۳ و ۲۱۸-۱۱۲ درجه سانتی‌گراد و شوری بین ۱/۹-۱/۸ و ۱۱/۲-۱۱/۹ درصد وزنی NaCl^{۳۴S} است. مقادیر کانی‌های سولفیدی در دامنه ۱/۲+۱/۱ تا ۱/۱-در هزار قرار دارد. تشکیل آلونیت و کائولینیت در دگرسانی آرژیلیک پیشرفت، کوارتز حفره‌دار در دگرسانی سیلیسی، همراهی باریت و انیدریت با رگه‌های کوارتزی و نبود کانی‌های کربناتی در مسجد داغی شواهدی از ذخیره اپی‌ترمال سولفید بالاست؛ اگرچه کانی‌های سولفید بالای مس (انارژیت و لازونیت) حضور ندارند.

واژه‌های کلیدی: مسجد داغی، طلای اپی‌ترمال، پورفیری، ارسباران، ایران

(Adeli et al., 2002) و هفت‌چشمه Somarin et al., 2002)

مقدمه

(Karimzadeh Somarin, 2011)، ذخایر اسکارن مزرعه

زون فلزی ارسباران در انتهای غربی کمان ماگماتی البرز-

(Karimzadeh Somarin and Anjerd, 2004) و انجرد

آذربایجان (Nabavi, 1976)، یا ادامه شمالی کمان ماگماتی

(Hosseinzadeh, 2002) و همین‌طور ذخایر طلای اپی‌ترمال

آرومیه-دختر (Alavi, 1991) قرار دارد (شکل ۱) و اهمیت آن

به دلیل وجود ذخایر مس-مولیبدن پورفیری مانند

سازمان زمین‌شناسی در سال‌های ۱۳۷۹-۱۳۸۴ به کشف چند

سونگون (Karimzadeh Mehrpartou, 1993)، سوناجیل (Mehrpartou, 1993)

سال گذشته توسط شرکت ملی مس ایران اکتشاف گستردگی در آن صورت گرفه است. هدف از این پژوهش، شناخت ویژگی‌های فیزیکی - شیمیایی سیال کانه‌دار و سازوکار نهشت کانسنسگ در رگه‌های کوارتز طلدار و ارتباط احتمالی آن با سیستم پوروفیری مسجدلاغی است.

روش کار

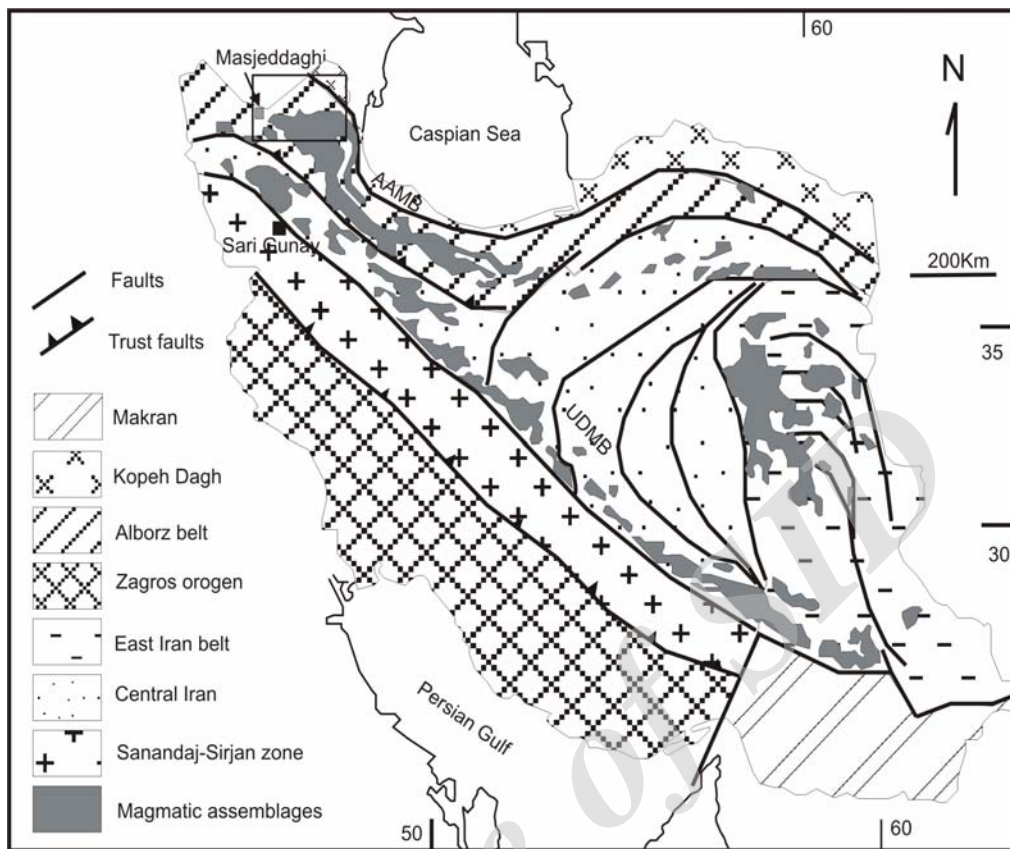
این پژوهش بر مشاهدات میدانی و نمونه‌برداری از رخنمون‌های سطحی و مغزه‌های حفاری برای بررسی‌های آزمایشگاهی استوار است. برای شناخت کانی‌شناسی کانسنسگ و دگرسانی، ۵۰ مقطع نازک، نازک-صیقلی و صیقلی، بررسی و سپس ۴ نمونه جهت بررسی‌های ریزدماسنجی میان‌بارهای سیال، ۳ نمونه برای آنالیز ریزکاو الکترونی و ۶ نمونه (پیریت، گالن و اسفالریت) برای تعیین نسبت ایزوتوبی گوگرد انتخاب شد. آنالیز ریزکاو الکترونی با استفاده از دستگاه الکترون مایکروپروب مدل JEOL 8600 در دانشگاه ساسکاچوان کانادا انجام شد. شرایط انجام آزمایش‌ها، توانایی شتاب‌دهنده ۱۵ کیلووات و جريان ۵۰ نانو آمپر است. بررسی میان‌بارهای سیال با استفاده از سیستم گرمایش-سرمايش جريان گاز USGS در گروه زمین‌شناسی دانشگاه ساسکاچوان کانادا انجام شده است. برای کالیبره کردن دستگاه و تعیین درستی اندازه‌گیری‌ها از نمونه‌های میان‌بار استاندارد مصنوعی آب خالص و فلوروریت استفاده شد. درستی اندازه‌گیری‌ها برای دماهای همگن شدن $20^{\circ}\text{C} \pm 0.1^{\circ}\text{C}$ و برای ذوب یخ $0^{\circ}\text{C} \pm 0.1^{\circ}\text{C}$ است.

نسبت ایزوتوبی گوگرد با استفاده از سیستم Thermo G.G. Hatch در آزمایشگاه Finnigan DeltaPlus IRMS گروه علوم زمین دانشگاه اتاوا در کانادا انجام شده است. داده‌ها براساس در هزار (‰) نسبت به استاندارد CDT ارائه شده و دقت آنالیزها در حد $\pm 0.1\%$ در هزار است. گاز مورد استفاده در این آزمایش‌ها، گاز SO_2 است که از سوختن کانی سولفیدی در حضور یک عامل اکسیدکننده مانند O_2 , V_2O_5 , Cu_2O , CuO به دست می‌آید.

ذخیره طلای اپی‌ترمال از جمله شرف‌آباد (Pournik, 2006)، زگلیک (Mohammadi et al., 2000)، صفی‌خانلو (Mohammadi et al., 2000) و مسجدلاغی (Mohammadi et al., 2005) و مس-مولیبدن-طلای قره‌چیلر (Mokhtari et al., 2007) انجامید. ذخایر طلای اپی‌ترمال این زون غالباً همراه با سن‌گهای آتشفسانی و آذرآواری کالک‌آلکالن با ترکیب اسیدی تا حدود است یافت شده است. این کانسارها از نوع سولفیداسیون پایین (زگلیک و صفی‌خانلو) و حدود است (شرف‌آباد) و در قالب رگه‌های کوارتزی است و در دماهای ۱۵۰ تا ۳۰۰ درجه سانتی‌گراد توسط سیال‌هایی با شوری پایین تا متوسط (۱۵ تا ۱۵۰ درصد وزنی NaCl) و در عمق کم (۱۰۰ تا ۵۰۰ متر) از سطح دیرینه تشکیل شده‌اند (Alirezai et al., 2008; Ebrahimi et al., 2011).

محدوده طلای مسجدلاغی در ۳۵ کیلومتری شرق شهرستان جلفا و در مجاورت رود ارس در استان آذربایجان شرقی قرار دارد. محدوده مورد بحث در ورقه زمین‌شناسی ۱:۱۰۰۰۰ (Abdollahi et al., 1996) واقع شده است و منطقه‌ای به وسعت ۸ کیلومتر مربع در بازه طول شرقی $53^{\circ} 55' 53''$ و $53^{\circ} 21' 45''$ و عرض شمالی $38^{\circ} 16' 52''$ و $38^{\circ} 14' 57''$ را شامل می‌شود. بررسی‌های نیمه تفصیلی شامل تهیه نقشه زمین‌شناسی ۱:۵۰۰۰ و ساخت تقریبی ۸/۵ کیلومتر مربع بر روی رگه‌های طلدار مسجدلاغی در سال ۱۳۸۲ توسط (Akbarpour et al., 2003) بررسی‌های تفصیلی شامل تهیه نقشه زمین‌شناسی-معدنی در مقیاس ۱:۱۰۰۰، حفر ۳۵۰ متر ترانشه و ۱۲ گمانه اکتشافی با عمق‌های ۷۰ تا ۱۹۰ متر (مجموع ۱۲۰۰ متر) جهت عیارسنجی و تخمين ذخیره اولیه توسط سازمان زمین‌شناسی کشور در محدوده کانی‌سازی رگه‌ای انجام شد (Mohammadi et al., 2005).

رگه‌های کوارتز طلدار مسجدلاغی، ارتباط مکانی نزدیکی با یک ذخیره مس-طلای پوروفیری به همین نام دارند که در چند



شکل ۱. نقشه ساده شده زمین‌ساخت ایران با زون‌های زمین‌ساختی گوناگون و توزیع مجموعه‌های ماقمایی سنوزوئیک (Alavi, 1991)، موقعیت محدوده ارسباران و منطقه کانی‌زایی مسجدداغی در شمال غرب ایران دیده می‌شود.

Fig. 1. Simplified tectonic map of Iran showing various geological divisions and distribution of the Cenozoic magmatic assemblages (Alavi, 1991). The square shows the location of the Arasbaran and the Masjeddaghi in northwest Iran.

زمان جایگزینی و تبلور توده‌های نفوذی مولد ذخایر پورفیری سونگون، کیقال، هفت‌چشم و نیاز در ارسباران، با استفاده از روش‌های U-Pb زیرکن و Ar-Ar بیوتیت و آمفیبول، حدود ۱۹ تا ۲۲ میلیون سال تعیین شده است (Hassanpour et al., 2015). این پژوهشگران پیشنهاد می‌کنند که زون ماقمایی ارسباران کمانی مجاز است که از شمال غرب ایران به سمت شمال تا ارمنستان و آذربایجان امتداد یافته است. قدیمی‌ترین واحدهای سنگ‌شناختی در منطقه مسجدداغی، شامل مجموعه‌ای از سنگ‌های فلیش گونه اتوسن است که گسترش زیادی در شمال غرب ایران داشته و به شدت چن خوردده و گسلیده است. نهشته‌های فلیش از ماسه‌سنگ، آهک، شیل و سیلت‌سنگ همراه با لایه‌هایی از کنگلومراخاکستری و سبز

زمین‌شناسی منطقه

زون فلزیابی ارسباران در انتهای غربی زون البرز- آذربایجان قرار دارد و بخش‌هایی از استان اردبیل و آذربایجان شرقی را می‌پوشاند. اوین آثار آتشفسانی قابل توجه در این منطقه، مربوط به کرتاسه بالایی است، اما اوج فعالیت‌های آتشفسانی با ترکیب چیره فلسیک- حدواسط، در اتوسن بوده است. حرکات کوه‌زایی آلپی در این ناحیه با چین خوردگی شدید و گسلش در کرتاسه پایانی- ترکیه آغاز می‌شود. در آغاز الیگوسن، در اثر حرکات کوه‌زایی پیرنه همانند بسیاری از نقاط البرز مرکزی و ایران مرکزی، توده‌های نفوذی مانند سینیت‌های بزرگ‌کوش، کلیر و اهر به داخل سنگ‌های آتشفسانی اتوسن نفوذ کرده است (Abdollahi et al., 1996).

پوسته اقیانوسی با ترکیب اکلوژیت و آمفیولیت گارنت دار حاصل شده‌اند.

دگرسانی

دگرسانی گرمابی در منطقه مسجددادغی گسترش وسیعی دارد و بهویره واحدهای تراکی آندزیت و کوارتز مونزودیوریت را تحت تأثیر قرار داده است (شکل ۲). دگرسانی‌های تیپیک در سیستم کانی‌سازی مسجددادغی شامل پتاسیک، فیلیک، آرژیلیک، آرژیلیک پیشرفت، سیلیسی و پروپیلیتیک است. امامعلی‌پور و همکاران (Emamalipour et al., 2010) بررسی‌های ژئوشیمیایی بر روی زون‌های دگرسانی مرتبط با کانی‌سازی رگه‌ای مسجددادغی انجام داده‌اند، این پژوهشگران با استفاده از آنالیز شیمیایی نمونه‌های دگرسان شده و با استفاده از عناصر Na_2O , K_2O , Zr , Pb , Ba , Sr , Cu , AS و اکسیدهای SiO_2 , Al_2O_3 , MgO تشکیل این دگرسانی‌ها پرداخته‌اند. نتایج این بررسی‌ها نشان می‌دهد دگرسانی‌های سیلیسی، آرژیلیک پیشرفت، آرژیلیک حدواسط و پروپیلیتیک در ارتباط با کانی‌سازی رگه‌ای بوده و به ترتیب از داخل رگه به سمت بیرون گسترش یافته‌اند.

دگرسانی پتاسیک با گسترش محدود (حدوداً ۲۰۰۰ متر مربع) در حاشیه رودخانه آرپاچای دیده می‌شود (شکل ۲)؛ اما حفاری‌های شرکت ملی مس نشانگر گسترش این دگرسانی تا عمق ۷۰۰ متری است که با کانه‌زایی مس نیز همراه است، این دگرسانی در تمامی گمانه‌های اکتشافی مربوط به سیستم پورفیری وجود دارد. دگرسانی پتاسیک، محدود به واحد کوارتز مونزودیوریت است؛ اما به طور جزئی واحد تراکی آندزیت را نیز تحت تأثیر قرار داده است. دگرسانی پتاسیک تا حدی تحت تأثیر دگرسانی‌های فیلیک و آرژیلیک قرار گرفته و بین این دگرسانی‌ها هم پوشانی ایجاد شده است؛ به طوری که کانی‌های پتاسیم فلدسپار و بیوتیت ثانویه در زون پتاسیک به سریسیت، کلریت و رس تبدیل شده است. کانی‌شناسی این زون دگرسانی مانند بسیاری از سیستم‌های مس پورفیری دیگر شامل

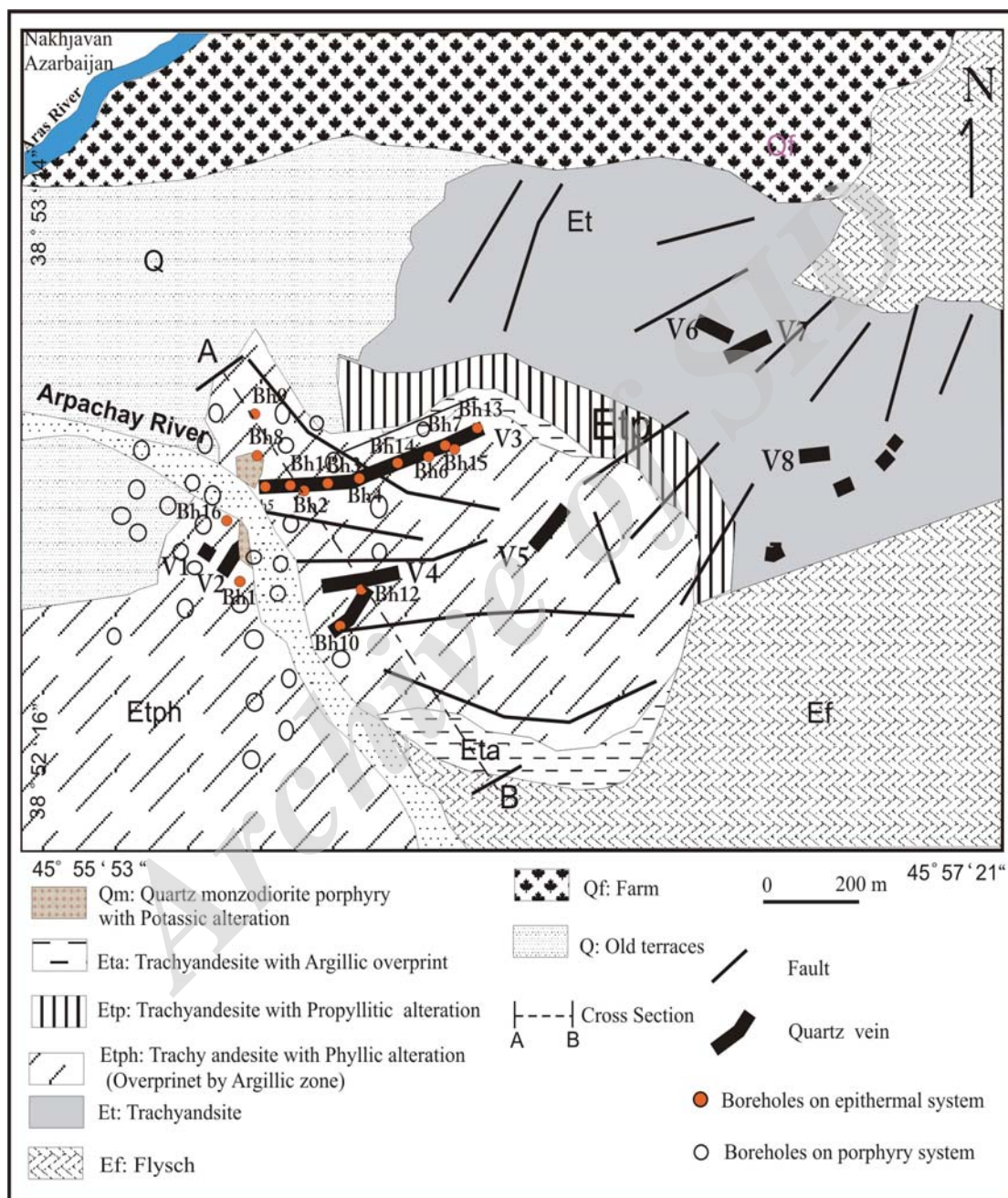
تشکیل شده است و بدلیل فرسایش پذیری ناهمگون واحدهای مختلف آن، مورفولوژی ملایم تا خشن ایجاد کرده است. این مجموعه رسویی توسط سنگ‌های آتشفسانی اثوسن پوشیده شده است (شکل ۲). این سنگ‌های آتشفسانی ترکیب آندزیتی تا تراکی آندزیتی داشته و توپوگرافی خشن‌تری دارند. ترکیب سنگ‌شناسی قسمت‌های شرقی منطقه، آندزیتی تا تراکی آندزیتی تقریباً سالم (با دگرسانی کم) است، ولی قسمت‌های غربی محدوده را سنگ‌هایی با همان ترکیب و با دگرسانی بیشتر تشکیل داده است. بخش اعظم کانی‌سازی محدوده اکتشافی در این سنگ‌های دگرسان شده رخداده است (شکل ۲). همچنین یک توده نفوذی کوارتز مونزودیوریت پورفیری میوسن(؟) به داخل سنگ‌های آتشفسانی نفوذ کرده است که در سطح برون‌زد بسیار کمی دارد. گسترش این توده در عمق زیاد بوده (شکل ۳) و میزان اصلی ذخیره پورفیری مسجددادغی است (Abdollahi et al., 1996). با توجه به تنوع واحدهای آتشفسانی و توده نفوذی، همچنین نحوه استقرار و ارتباط آنها، به نظر می‌رسد مجموعه آتشفسانی مسجددادغی آتشفسانی چینه‌ای یا مرکب قدیمی است (Mohammadi et al., 2005).

سنگ میزان اصلی کانی‌سازی رگه‌ای سنگ‌های آتشفسانی است که متتحمل دگرسانی شده است (شکل A-۴). توده کوارتز مونزودیوریت پورفیری شامل درشت‌بلورهای پلازیوکلاز، فلدسپات آلکالن، بیوتیت و اندکی کوارتز و هورنبلند در زمینه‌ای کوارتز- فلدسپاتی است (شکل B-۴). واحد تراکی آندزیت گسترش زیادی در منطقه دارد و سنگ میزان اصلی کانی‌سازی است. این سنگ با درشت‌بلورهای پلازیوکلاز، بیوتیت، سانیدین، هورنبلند و اندکی کلینوپیر و کسن، در زمینه شیشه‌ای و میکرولیتی مشخص می‌شود (شکل C-۴).

سنگ‌های آتشفسانی منطقه مسجددادغی در حاشیه فعال قاره‌ای وابسته به فرونش و از تحول یک ماگمای آداسیتی پر سیلیس پدید آمده‌اند (Yaddollahi et al., 2011). به نظر این پژوهشگران، سنگ‌های آذرین منطقه مسجددادغی احتمالاً از ذوب

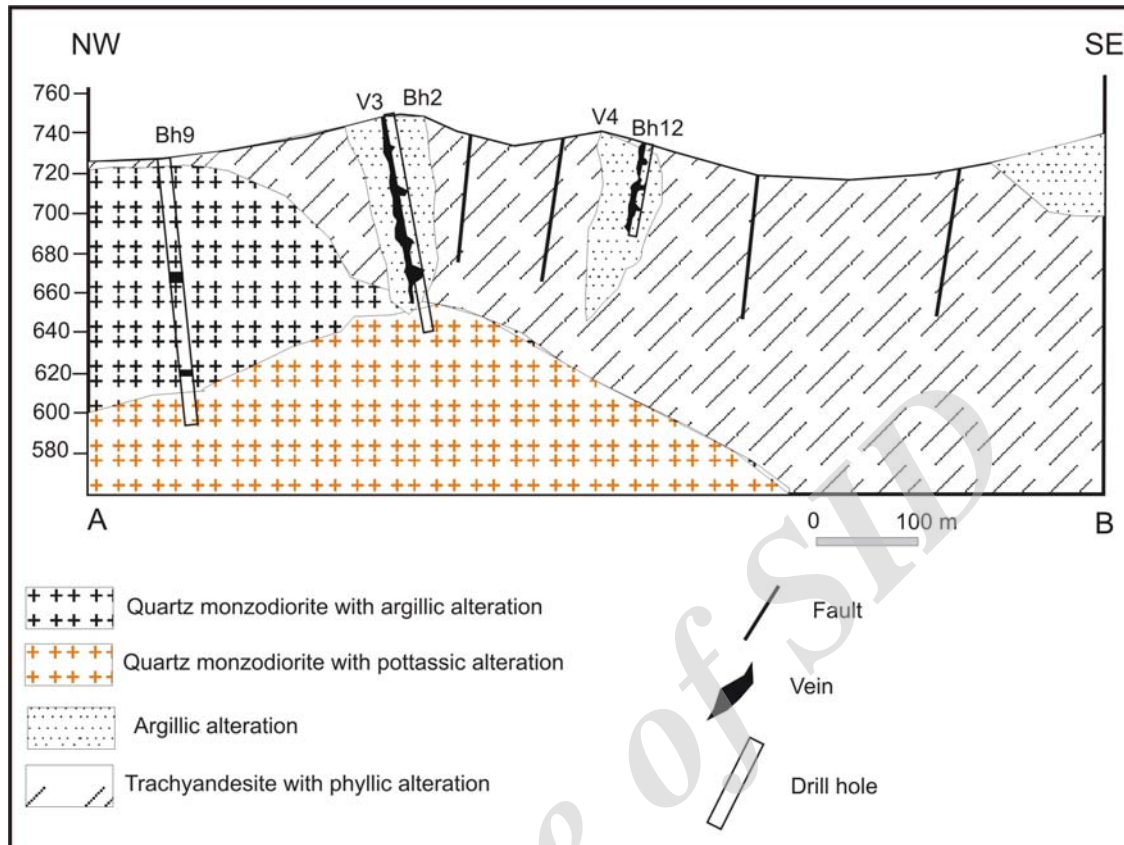
بیوتیت ثانویه با بلورهای ریز و فلسفی‌شکل، به‌طور بخشی تا کامل جانشین بیوتیت اولیه و هورنبلند شده است، بیوتیت ثانوی در زمینه سنگ نیز توسعه یافته است (شکل B-۵).

پتاسیم-فلدسبار، بیوتیت و مگنتیت است (شکل A-۵). پتاسیم-فلدسبار ثانوی به صورت بلورهای کوچک و بی‌وجه (انهدرا) جانشین پلازیوکلاز و همین طور جانشین زمینه سنگ شده است.



شکل ۲. نقشه زمین‌شناسی - معدنی ساده محدوده کانی‌سازی مسجد داغی (Mohammadi et al., 2005). موقعیت گمانه‌های اکتشافی مربوط به سیستم اپی‌ترمال و همین طور گمانه‌های عمیق مربوط به سیستم پورفیری نیز مشخص شده است.

Fig. 2. Simplified geological-mineral map of the Masjed Daghi area (after Mohammadi et al., 2005), Locations of the boreholes related to epithermal and porphyry systems are shown.



شکل ۳. مقطع عرضی از منطقه مسجدداغی که ارتباط بین واحدها، دگرسانی‌ها و رگه‌ها را نشان می‌دهد.

Fig. 3. Cross section of the Masjeddah area which showing realtion between host rocks, alterations and veins.

رفته است. بین مناطق دگرسانی پتاسیک و فیلیک، یک زون حدوداً سطح وجود دارد که در آن کانی‌های شاخص دگرسانی پتاسیک (پتاسیم-فلدسبار و بیوتیت ثانوی) به طور بخشی توسط سریسیت و گاه سریسیت-کلریت جایگزین شده‌اند. زون دگرسانی سیلیسی یکی از شاخصترین دگرسانی‌های موجود در منطقه است که به صورت رگه و رگه‌چه و سیلیس بازماندی در سنگ میزان تراکی آندزیت دیده می‌شود و بافت‌های شاخص آن نواری، توده‌ای، برشی و کوارتز حفره‌ای است (شکل ۵-۱). کوارتز حفره‌ای یا بازماندی نتیجه آب‌شویی آلومینیوم و سایر اجزای سنگ است که توسط سیال هیوژن اسیدی با pH پایین ایجاد می‌شود، حضور این نوع سیلیس در رگه‌ها می‌تواند تأییدی بر اسیدی بودن محلول‌ها باشد (White and Heddenquist, 1990; pH کمتر از ۲ باشد).

دگرسانی فیلیک گسترش زیادی در سطح دارد و دست کم بخشی از آن به صورت جانشینی دگرسانی پتاسیک پدید آمده است. این دگرسانی در حاشیه رودخانه آرپاچای به صورت هاله‌ای دگرسانی پتاسیک را فرا گرفته است (شکل ۲). دگرسانی فیلیک در سطح زمین منحصر به واحد تراکی آندزیت است، اما در عمق، واحد کوارتز مونزودیوریت نیز دستخوش این دگرسانی شده است (Sheikh et al., 2009). بررسی‌های کانی‌شناسی نشان می‌دهد که کانی‌های سیلیکاتی اولیه مانند پلازیوکلاز، پتاسیم-فلدسبار و کانی‌های فرومیزین و همچنین کانی‌هایی که ضمن دگرسانی پدید آمده‌اند، توسط سریسیت و کوارتز به عنوان کانی‌های اصلی و کلریت به عنوان کانی فرعی و کانی‌های سولفیدی جانشین شده‌اند (شکل ۵-۲). کانی‌شناسی و بافت اولیه سنگ، در اثر این دگرسانی تا حد زیادی از بین

حفاری گمانه V3 نشان می‌دهد که دگرسانی سیلیسی و آرژیلیک تا عمق ۱۰۰ متری ادامه داشته است و به دگرسانی پتاسیک متنه می‌شود (شکل ۴) (Mohammadi et al., 2005).

Arribas, 1995) این دگرسانی در امتداد رگه‌ها در زون‌هایی با پهنه‌ای ۲۰–۲۰۰ متر و طول‌های تا ۵۰ تا ۷۰۰ متری قابل شناسایی است و در اغلب موارد کانی‌زایی رگه‌ای را همراهی می‌کند. این دگرسانی میزبان اصلی کانی‌سازی طلاست. بررسی مغزه‌های



شکل ۴. A: رگه اصلی (V3) در شرق حاشیه رودخانه آرپاچای در میزبان آندزیتی که دستخوش دگرسانی آرژیلیک و فیلیک شده و با کوارتز و فراوانی هیدروکسیدهای آهن مشخص می‌شود، (دید به سمت شمال شرق)، B: تصویر میکروسکوپی از کوارتز مونزودیوریت که در آن پلازیوکلاز و بیوتیت در زمینه‌ای ریز بلور از فلدسپار، بیوتیت و کوارتز قرار دارد، (نمونه مربوط به Bh4 و عمق ۱۱۵ متری) و C: تصویر میکروسکوپی از تراکی-آندزیت همراه با بلورهای پلازیوکلاز و هورنبلندر (نمونه مربوط به Bh4 و عمق ۴۵ متری). (بیوتیت: Bt، پلازیوکلاز: Pl، هورنبلندر: Hbl). حروف اختصاری کانی‌ها از ویتنی و اوونز (Whitney and Evans, 2010).

Fig. 4. A: Main auriferous vein (V₃) east Arpachay River in andesitic host rock with argillic and phyllitic alterations, silicified wall rock and Fe- oxide/hydroxides in Masjed Daghi, (view to the northeast), B: Microscopic image from quartz monzonodiorite with phenocrysts of plagioclase in quartz - feldspar groundmass; plagioclase crystals are partly replaced by k- feldspar; secondary biotite developed in matrix. Sample from Bh4, 115m depth, and C: Microscopic image from trachyandesite, marked by plagioclase phenocrysts in a very fine-grained matrix. Plagioclases are partially altered to sericite and clay minerals; minor chloritized hornblende, can be distinguished. Sample from Bh4, 42m depth. (Biotite: Bt, Hornbelende: Hbl, Plagioclase: Pl). (Abbreviations after Whitney and Evans, 2010).

اپیدوت، کلریت و کانی‌های رسی جایگزین شده است (شکل ۵). بیویت کمایش به کلریت تجزیه شده است. شیخ و همکاران (Sheikh et al., 2009) به رخداد این دگرسانی در کوارتز مونزودیوریت نیز اشاره کرده‌اند.

دگرسانی‌های مربوط به کانی‌سازی نوع پورفیری و کانی‌سازی نوع رگه‌ای در مسجدداغی ارتباط مکانی نزدیکی با یکدیگر دارند. شکل‌های ۳ و ۶، ارتباط بین دگرسانی همراه با رگه‌های طلادار و دگرسانی مرتبط با سیستم پورفیری در مسجدداغی را نشان می‌دهد. به نظر می‌رسد که دگرسانی آرژیلیک مرتبط با کانی‌سازی نوع رگه‌ای، به صورت هم‌پوشانی بر دگرسانی پتانسیک مربوط به سیستم پورفیری اثر گذاشته است.

کانی‌سازی و همبافت کانی‌ها

سیستم کانی‌سازی مسجدداغی، از دو نوع کانی‌سازی مس-طلای پورفیری (NICOCO, 2009) و طلای رگه‌ای (Mohammadi et al., 2005) تشکیل شده‌است. هدف اصلی این پژوهش، کانی‌سازی طلای رگه‌ای است، اما با توجه به ارتباط مکانی بسیار نزدیک این دو نوع کانی‌سازی و همبستگی زیشی احتمالی آنها، سیستم کانی‌سازی پورفیری نیز با استفاده از داده‌های موجود و کارهای منتشر شده، بررسی شده‌است. جهت شناخت کانی‌ها، روابط بافتی و توالی پاراژنتیکی، نزدیک به ۱۰۰ نمونه از زون‌های سیلیسی، سیلیسی - رسی، پتانسیک- فیلیک و پروپیلیتیک مورد مطالعه میکرو‌سکپی قرار گرفته است. بر اساس این مطالعات، کانی‌سازی را می‌توان به دو سیستم کانی‌سازی پورفیری و رگه‌ای تقسیم‌بندی نمود.

کانی‌سازی نوع پورفیری

کانی‌سازی پورفیری گسترش محدودی در سطح دارد و سنگ میزبان آن، توده نفوذی با ترکیب کوارتز مونزودیوریت است که رخنمون چندانی در سطح زمین ندارد؛ اما حفاری‌ها نشانگر گسترش آن در عمق است. حفاری‌های کم عمق توسط سازمان زمین‌شناسی در سال‌های ۱۳۸۲-۱۳۸۳ کانی‌سازی را تا عمق

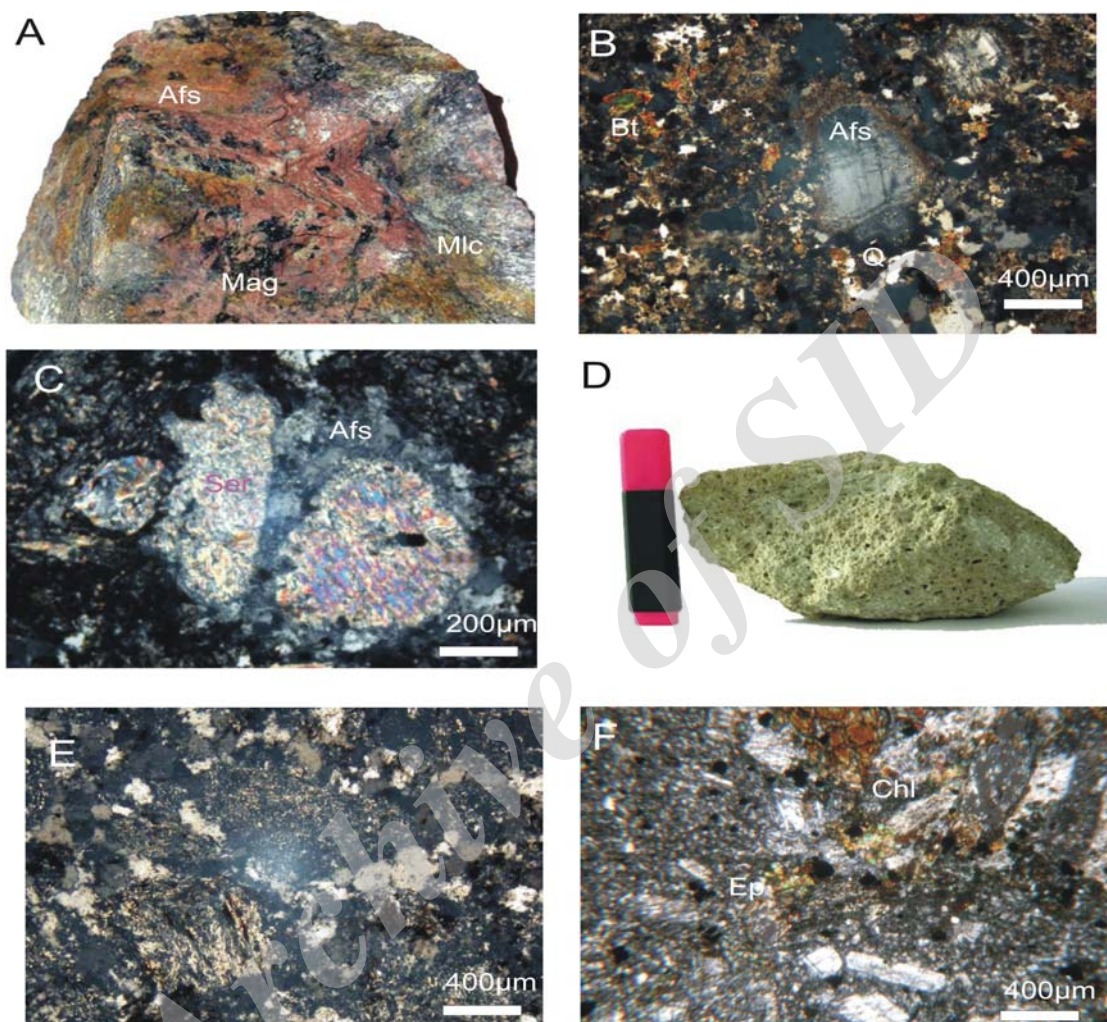
دگرسانی آرژیلیک پیشرفته با گسترش محدود در مجاورت دگرسانی سیلیسی ایجاد شده است. این دگرسانی بر روی سنگ میزبان (تراکی آندزیت) تأثیر به سزایی داشته؛ به طوری که پلازیوکلاز سنگ میزبان را به کانی‌های رسی به خصوص کائولینیت تبدیل کرده و بافت اولیه سنگ را از بین برده است. بر اساس نتایج دو نمونه آنالیز XRD، ترکیب کانی‌شناسی دگرسانی آرژیلیک پیشرفته مرتبط با رگه‌های طلادار که منشاء درون‌زاد دارد، شامل کوارتز، کائولینیت، آلونیت هیپوژن، باریت و پیریت است. امامعلی‌پور و همکاران (Emamalipour et al., 2010) در زون دگرسانی آرژیلیک پیشرفته کانی تورمالین را نیز گزارش کرده است که نشان‌دهنده سیال اسیدی و غنی از مواد فرار است (Deen, 1990). دگرسانی آرژیلیک متوسط با گسترش نسبتاً زیاد در قسمت غربی و جنوب‌غرب منطقه کانی‌سازی گسترش دارد (شکل ۲)؛ ولی در حاشیه رگه‌های طلادار به عنوان دگرسانی اصلی دیده می‌شود و همراهی مکانی نزدیکی با کانه‌زایی رگه‌ای نشان می‌دهد (شکل ۴-۶). بر اساس بررسی‌های XRD ترکیب کانی‌شناسی این دگرسانی شامل کائولینیت، ایلیت، کوارتز و کربنات است (شکل ۵-۶).

این دگرسانی در اطراف رگه‌های طلادار توسعه یافته و به تدریج به دگرسانی پروپیلیتیک می‌رسد. دگرسانی آرژیلیک سوپرژن در امتداد شکستگی‌ها و اطراف آبراهه‌ها به خوبی توسعه یافته است. این دگرسانی بهویژه به مناطقی محدود می‌شود که میزان سولفیدها بهویژه پیریت در سنگ زیاد بوده‌است؛ چرا که اکسایش پیریت با تولید اسید سولفوریک همراه است که سبب تشدید این دگرسانی می‌شود.

دگرسانی پروپیلیتیک خارجی ترین زون دگرسانی مرتبط با کانی‌سازی رگه‌ای است که در سطح گسترش نسبتاً محدودی دارد و بیشتر در واحد تراکی آندزیت دیده می‌شود. کانی‌های شاخص این دگرسانی، اپیدوت، کلریت و کلسیت هستند. در قسمت‌هایی مقدار کانی کلریت افزایش یافته و دگرسانی کلریتی را نیز تشکیل داده است. در این دگرسانی، هورنبلند و پیروکسن به کلریت و کلسیت تبدیل شده و پلازیوکلاز توسط کلسیت،

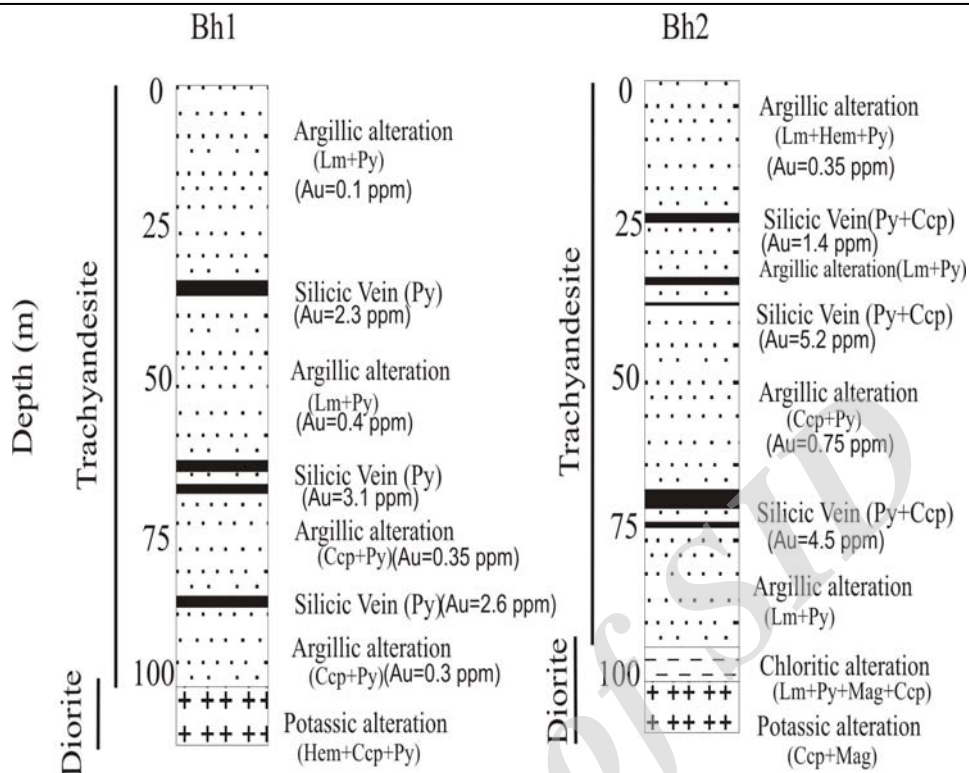
عمق ۷۰۰ متر را تأیید کرده است.

۱۹۰ متری ردیابی کرد. حفاری‌های عمیق‌تر توسط شرکت ملي مس ایران در سال‌های ۱۳۸۷-۱۳۸۸، گسترش کانی‌سازی تا



شکل ۵. تصاویر ماکروسکوپی و میکروسکوپی از دگرسانی‌های تیپیک در مسجدداغی، A: دگرسانی پتانسیک که در آن ارتوز صورتی و کمی بیوتیت تیره به خوبی رشد کرده است. لکه‌های سبزرنگ، ملاکیت است، B: دگرسانی پتانسیک که با تشکیل بیوتیت ثانویه در زمینه سنگ و جانشینی پلازیوکلاز توسط آلکالی فلدسپار مشخص می‌شود، C: دگرسانی فیلیک که با جایگزینی کامل پلازیوکلاز توسط سریسیت و کوارتز مشخص می‌شود، D: نمونه کوارتز حفره‌ای (کوارتز بازماندی) در رگه کوارتز، E: جایگزینی پلازیوکلاز توسط کانی‌های رسی در اثر دگرسانی آرژیلیک و F: تبدیل کانی‌های فرومینیزین و پلازیوکلاز به اپیدوت و کلریت در دگرسانی پروپیلیتیک (همه نمونه‌ها از رخمنون‌های طبیعی هستند). (آلکالی فلدسپار: Afs، ملاکیت: Mlc، مگنتیت: Mag، بیوتیت: Bt، کوارتز: Q، سریسیت: Ser، اپیدوت: Ep، کلریت: Chl). حروف اختصاری نشانگر کانی‌ها از (Whitney and Evans, 2010).

Fig. 5. Microscopic and macroscopic images of typical alterations in the Masjed Daghi area, A: Potassic alteration with secondary pinkish K-feldspar and minor dark biotite; associated with malachite staining as a supergene product, B: Potassic alteration with secondary biotite and K-feldspar in the groundmass of rock and replacement of plagioclase by alkali-feldspar, C: Phyllitic alteration; plagioclase replaced by quartz and serscrite, D: Residual quartz in the silicic alteration, E: Argillitic alteration; plagioclase completely replaced by clay minerals, and F: Propylitic alteration; plagioclase replaced by chlorite and epidote. (Alkali feldspar: Afs, Malachite: Mlc, Magnetite: Mag, Biotite: Bt, Quartz: Q, Sericite: Ser, Epidote: Ep, Chlorite: Chl). (Abbreviations after Whitney and Evans, 2010).



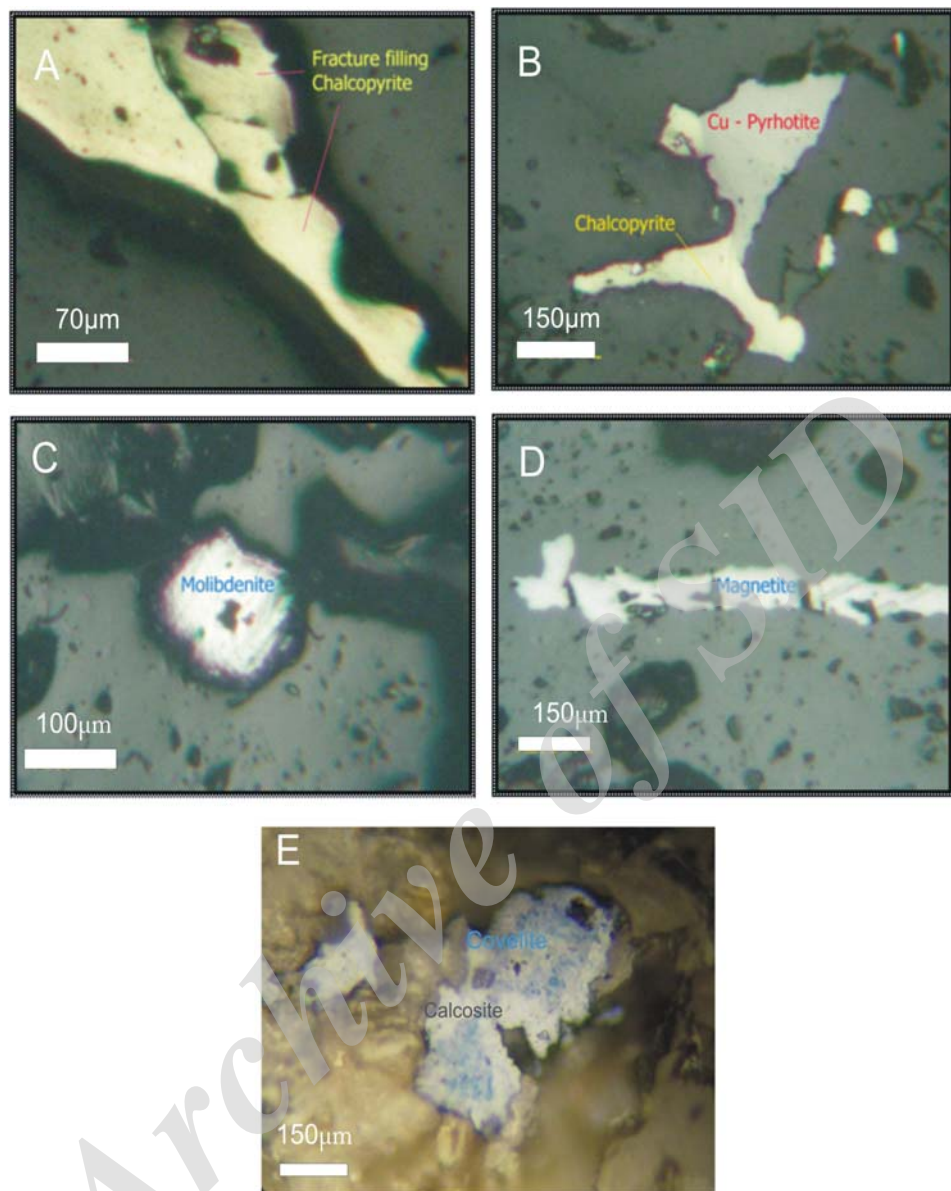
شکل ۶. مقطع عرضی از دو گمانه (Bh-1 و Bh-2) که روی رگه V3 در منطقه مسجدداغی حفر شده است همراه با دگرسانی‌های آرژیلیک، سیلیسی، پروپلیتیک و پاتاسیک و میانگین عیار طلا (کالکوپیریت: Ccp، پیریت: Py، لیمونیت: Lm، مگنتیت: Mag، هماتیت: Hem). حروف اختصاری نشانگر کانیها از ویتنی و اوونز (Whitney and Evans, 2010).

Fig. 6. Cross sections of two boreholes (Bh1- and Bh2) on the V3 vein in Masjed Daghi, with argillic, silicic, propylitic and potassic alterations, and mean gold assay (Py: Pyrite, Hem: hematite, Ccp: Chalcopyrite, Mag: Magnetite, Lm: Limonite). (Abbreviations after Whitney and Evans, 2010).

منطقه دگرسانی فیلیک، تا نزدیک به ۱:۱ و حتی کمتر از آن در بخش‌های عمیق و منطقه دگرسانی پاتاسیک تغییر می‌کند. این دو کانی، به صورت افشار یا دانه-پراکنده در سنگ‌های دگرسان شده و همین‌طور در رگه‌های کوارتز-سولفید وجود دارند (شکل ۷-۷A). پیروتیت به مقدار بسیار کم و بی وجه در حاشیه بعضی رگه‌های کالکوپیریتی دیده می‌شود (شکل ۷-۷B). مولیدنیت به عنوان یک کانی فرعی و همراه، در بخش‌های عمیق‌تر سیستم پوروفیری وجود دارد (شکل ۷-۷C). این کانی اغلب در رگه‌های کوارتز همراه با کالکوپیریت یا بدون این کانی دیده می‌شود. مگنتیت به عنوان یک کانی همراه، به ویژه در بخش مرکزی سیستم پوروفیری مسجدداغی وجود دارد (شکل ۷-۷D).

این کانی‌سازی همراه با دگرسانی‌های پاتاسیک، پاتاسیک-فیلیک، فیلیک و فیلیک-آرژیلیک است (Sheikh et al., 2009). کانی‌سازی به صورت افشار یا پراکنده-دانه و رگه‌چه‌ای یا استوکورک رخداده است و در جاهایی که تمرکز رگه‌ها بیشتر است، کانی‌سازی شدت بیشتری دارد. کانی‌سازی در توده کوارتز مونزودیوریت پوروفیری و همین‌طور سنگ‌های آتش‌شانی میزبان آن رخداده است.

کانی‌سازی نوع پوروفیری در مسجدداغی از بسیاری جهات قابل مقایسه با کانسارهای مس پوروفیری دیگر در ایران است. کالکوپیریت، کانی هیپوزن اصلی مس است و با افزایش عمق با مقدار اندکی بورنیت همراهی می‌شود. پیریت فراوانترین کانی فلزی است و نسبت پیریت به کالکوپیریت از نزدیک به ۱:۱۰ در



شکل ۷. کانی‌سازی پورفیری در منطقه مسجدداغی. A: کالکوپیریت (زردرنگ) همراه با کوارتز (خاکستری) در یک رگه‌چه کوارتز- سولفید در کوارتز مونزودیوریت با دگرسانی پتاسیک. نمونه مربوط به عمق ۳۹۷ متری گمانه M-05، B: کالکوپیریت و پیروتیت در متن سنگ تراکی آندزیت با دگرسانی فیلیک (نمونه مربوط به عمق ۴۵۸ متری گمانه M-05)، C: دانه مولیبدنیت در زمینه کوارتز مونزودیوریت با دگرسانی پتاسیک (نمونه مربوط به عمق ۴۶۳ متری گمانه M-05)، D: رگه‌چه کوچک مگنتیتی در متن سنگ کوارتز مونزودیوریت با دگرسانی پتاسیک (نمونه مربوط به عمق ۴۶۳ متری گمانه M-05) و E: کالکوسیت و کوولیت در متن سنگ کوارتز مونزودیوریت با دگرسانی فیلیک (نمونه مربوط به عمق ۹۷ متری گمانه M-08)

Fig. 7. Porphyry mineralization in the Masjed Daghi area, A: Chalcopyrite associated with quartz in a quartz-sulfid veinlet in quartz monzodiorite (potassic alteration), sample from borehole M-05; 397m depth, B: Chalcopyrite and pyrrhotite in trachy andesite with phyllitic alteration; sample from borehole M-05, 458m depth, C: Molybdenite grain in quartz monzodiorite host rock with potassic alteration; sample from borehole M-05, 463m depth, D: Veinlet of magnetite in quartz monzodiorite host rock with potassic alteration; sample from borehole M-05, 463m depth, and E: Chalcopyrite replaced by chalcocite and covellite in quartz monzodiorite host rock with phyllitic alteration; sample from borehole M-08, 97m depth.

امتداد آنها شکل گرفته است و روند شمالی - جنوبی که گسل‌ها و رگه‌های اصلی را قطع کرده و موجب جایه‌جایی آنها شده است (Mohammadi et al., 2005).

کانی‌سازی در این مرحله با تشکیل رگه‌های کوارتر - سولفید طladar و کوارتر - باریت معرفی می‌شوند و کانسنگ با بافت‌های تودهای، برشی، پرکننده فضای خالی و نواری خودنمایی می‌کند (شکل A-۸، B، C و D). بافت‌های کاکلی و دروزی نیز به طور محلی وجود دارد. بافت برشی با وجود قطعات آندزیتی معرفی می‌شود که با سیمانی از سیلیس (کوارتر خاکستری و شیری) به هم متصل شده‌اند (A-۸). این بافت با سیمان سیلیسی که همراه با ماده معدنی است مربوط به مرحله کانی‌سازی است (B-۸)، بافت نواری در رگه‌های سیلیسی با نواربندی‌های ظریف میلی‌متری تشکیل شده است (C-۸)، بافت پرکننده فضای خالی که در زمینه کوارتر شیری و خاکستری دیده می‌شود و اغلب با کوارترهای شفاف و شکل دار پر شده است (D-۸). کانی‌سازی در رگه‌های طladar در دو مرحله هیپوژن و سوپرژن تشکیل شده است.

کانی‌سازی در مرحله هیپوژن به دو زیر مرحله کانی‌سازی اصلی و بعد از کانی‌سازی اصلی تقسیم می‌شود. قسمت عمده کانی‌های سولفیدی و طلا در زیر مرحله کانی‌سازی اصلی تشکیل شده است. در زیر مرحله بعد از کانی‌سازی اصلی تشکیل کانی‌های سولفیدی به جز پیریت به پایان رسیده و بدون کانی‌سازی مهم است. کانی‌سازی در مرحله اصلی هیپوژن با تشکیل کانی کوارتر خاکستری آغاز می‌شود که اغلب دارای بافت موزاییکی و دانه‌ای است (شکل A-۹). این نوع کوارتر متوسط تا درشت‌بلور بوده و در اولین مرحله از کانی‌سازی تشکیل شده است. برش‌های هیدروترمال اغلب با این نوع کوارتر همراه هستند (A-۸). در ادامه کانی‌سازی از مقدار کوارتر خاکستری کم شده است و به تدریج کوارتر شیری تشکیل می‌شود؛ به طوری که کانی‌های کوارتر خاکستری و شیری، همراهان اصلی ماده معدنی هستند. کوارتر شیری ریز تا متوسط بلور است و بافت نواری در این نوع کوارتر بیشتر دیده

اندیزیت به صورت دانه‌های پراکنده و گاه به صورت رگه‌چهای در زون‌های پتاسیک و فیلیک دیده می‌شود. مانند بسیاری از سیستم‌های پورفیری دیگر در ایران و جاهای دیگر، با بالا آمدگی و حذف سنگ‌های روپوش، کانسنگ در معرض هوازدگی و اکسایش قرار گرفته و زون‌های شسته شده، اکسید و غنی شده پدید آمده است. گسترش و ضخامت این زون‌ها در مسجد داغی چندان منظم نیست. زون شسته شده با فراوانی اکسیدها و هیدروکسیدها آهن مشخص می‌شود. کانسنگ اکسیدی که به‌ویژه با مالاکیت و به‌طور فرعی آزوریت و اکسیدهای مس معرفی می‌شود، توزیع چندان منظمی ندارد. در بعض‌هایی که دگرسانی پتاسیک شدید مجموعه کانی‌های وجود دارد، به‌دلیل توان بافر کنندگی شدید مجموعه کانی‌های شاخص این دگرسانی، شست و شوی چندانی صورت نگرفته و بیشتر مس به صورت کانی‌های اکسیدی ثبت شده است. غنی‌سازی سوپرژن در مسجد داغی با کانی‌های شاخص کالکوست و کوولیت معرفی می‌شود که به‌طور ترجیحی جانشین کالکوپیریت شده‌اند (شکل E-۷). آثار غنی‌شدگی و رخداد کالکوست و کوولیت در مسجد داغی از چند متر تا چند ده متر قابل رديابی است.

کانی‌سازی نوع دگهای

کانی‌سازی رگهای طladar در مسجد داغی، منطقه‌ای به وسعت یک کیلومتر مربع را در بر می‌گیرد. کانی‌سازی به صورت رگه و رگه‌چهای کوارتر و کوارتر - باریت و برش گرمایی با سیمان سیلیس است. تعداد ۱۲ رگه و رخنمون به درازای ۵۰ تا ۷۰۰ متر و پهنه‌ای ۲ تا ۲۰ متر در منطقه شناسایی شده است (شکل ۲). رگه V3 طویل‌ترین رگه بوده و میانگین پهنه‌ای آن ۵ متر است (شکل A-۴). کانی‌زایی در امتداد شکستگی‌ها و گسل‌ها بوده و توسط این ساختارها کنترل شده است. روند کلی ساختارهای عمده زمین‌شناسی (دایک‌ها، رگه‌ها و گسل‌ها) تقریباً شرقی - غربی است. سیستم گسل‌های موجود در منطقه دو روند عمومی دارد، روند شرقی - غربی که رگه‌های کوارتر طladar اغلب در

ابعاد پیریت کاسته شده و این کانی اغلب به صورت نیمه وجهه دار تا بی‌وجهه تشکیل شده است. در این مرحله پیریت با مقادیر بیشتری از کانی‌های سولفیدی مانند کالکوپیریت، گالن و اسفالریت همراه است (شکل ۹-۸). نتایج حاصل از ریزکاو الکترونی حضور طلا در شبکه این کانی را نشان می‌دهد (جدول ۱). پیریت در مرحله بعد از کانی‌سازی اصلی به مقدار کمتری تشکیل شده و با مقادیر کمی از کانی‌های سولفیدی همراه بوده است (شکل ۹-۹).

می‌شود (B-۸). آلونیت به صورت دانه‌های پراکنده در رگه‌های سیلیسی حضور دارند؛ ولی غالباً در دگرسانی آرژیلیک پیشرفت‌های تشکیل شده است. مهمترین کانی سولفیدی همراه با این نوع کوارتزها، پیریت است که با مقادیر متفاوتی گالن، اسفالریت و کالکوپیریت همراه می‌شود و با شکل و اندازه‌های متفاوت در رگه‌ها دیده می‌شود (جدول ۱). در ابتدای کانی‌سازی و همراه با کوارتز خاکستری، پیریت با بلورهای ۵۰ تا ۲۰۰ میکرون به صورت وجهه دار تشکیل شده است. این نوع پیریت، با مقادیر کمی از سایر سولفیدها همراهی می‌شود. در ادامه کانی‌سازی، از



شکل ۸. تصاویر ماکروسکوپی از بعضی بافت‌های موجود در رگه‌های طلادر مسجدdaghi، A: برش هیدروترمال مربوط به رگه طلادر V3 با قطعات سنگی آندزیت در سیمانی از کوارتز ریزبلور همراه با کانی‌های سولفیدی، نمونه مربوط به عمق ۶۴ متری از گمانه Bh2، B: بافت برشی همراه با قطعات آندزیتی که سیمان آن را کوارتز شیری تشکیل داده است و حاوی گالن، اسفالریت و مقدار کمی کالکوپیریت است، نمونه مربوط به عمق ۲۳ متری از گمانه Bh5، C: سیلیس با بافت نواری مربوط به رگه طلادر V3 و D: بافت پرکننده فضای خالی، که با کوارتز شفاف پر شده است، نمونه مربوط به عمق ۳۰ متری از گمانه Bh3

Fig. 8. Macroscopic images of some textures from epithermal veins in Masjed Daghi, A: Hydrothermal breccias from the V3 vein with andesite fragments in quartz groundmass associated sulfide minerals; sample from bore hole Bh2, 64m depth, B: Breccia texture associated with andesitic fragments in the milky quartz which consist galena, sphalerite and some chalcopyrite , sample from bore hole Bh5, 23m depth, C: silica with bended texture from the V3 vein, and D: Open space filling texture, filled by clear quartz, sample from bore hole Bh3, 30m depth

ایستابی، جایگزین آهن در شبکه کالکوپیریت شده و کوولیت ثانویه و کالکوسیت را پدید آورده است که از کانی‌های شاخص غنی‌سازی سوپرژن هستند (شکل ۹-۶ و E). توالی پاراژنتیکی در کانی‌سازی رگه‌ای در شکل ۱۰ ارائه شده است.

شیمی کانی

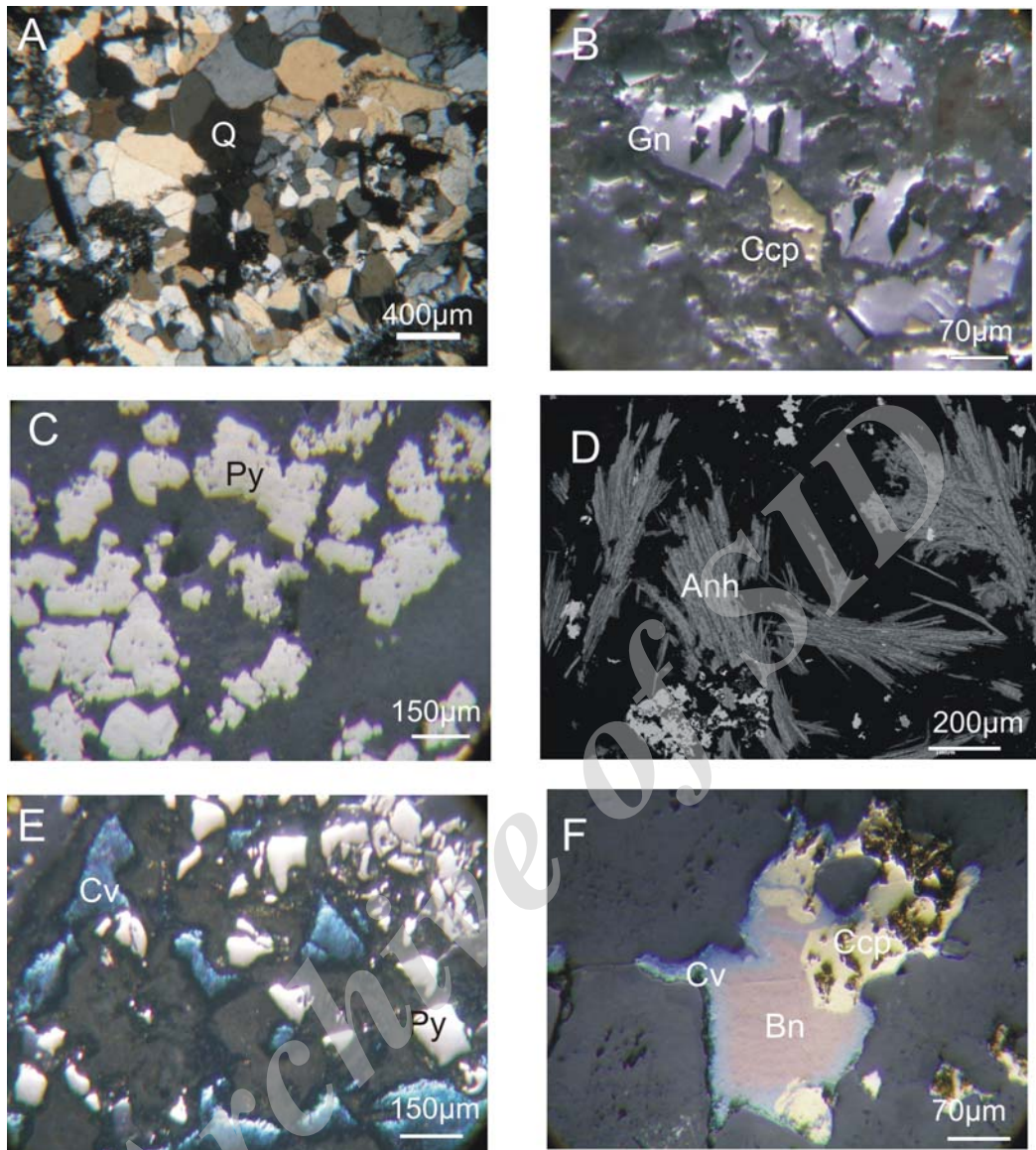
برای آگاهی از توزیع عناصر گوناگون در کانی‌های سولفیدی و ترکیب شیمیایی این کانی‌ها (پیریت و اسفالریت)، دو نمونه معرف کانسنگ از عمق‌های ۷۰ و ۴۰ متری گمانه‌های Bh3 و Bh4 از رگه V3 مورد آنالیز ریزکاو الکترونی قرار گرفت (جدول ۱). مقدار طلا در پیریت مرحله کانی‌سازی بین ۰/۰۰۴-۰/۰۳۸ درصد وزنی است. این بررسی‌ها نشان می‌دهد طلا در کانی اسفالریت در دامنه ۰/۰۱-۰/۱۶ درصد وزنی است. علت بالا بودن مقادیر طلا در اسفالریت احتمالاً مربوط به تهنشست همزمان طلا با سولفیدهاست. مقدار نقره در بیشتر موارد کمتر از حد تشخیص دستگاهی است و فقط در یک نمونه اسفالریت بین ۰/۰۱-۰/۰۵ درصد وزنی متغیر است. نتایج ریزکاو الکترونی در جدول ۱ به صورت خلاصه ارائه شده است.

نوع و ویژگی میان‌بارهای سیال

برای آگاهی از ویژگی‌های فیزیکی-شیمیایی، منبع و تحول سیال کانه‌دار، ۷ مقطع دوبر-صیقلی با ضخامت ۱۰۰ میکرومتر تهیه و بررسی شد. پس از پتروگرافی میان‌بارهای سیال، دو نمونه کوارتز خاکستری و دو نمونه اسفالریت مربوط به مرحله اصلی کانی‌سازی رگه‌ای، برای اندازه‌گیری‌های ریزدماسنجی انتخاب شد؛ سه نمونه دیگر، بدون میان‌بار مناسب برای بررسی بود. نمونه‌های مورد بررسی، مربوط به رگه V3 و گمانه Bh3 است و از عمق‌های ۳۷، ۳۸، ۶۴ و ۹۱ متری برداشته شده است (جدول ۲).

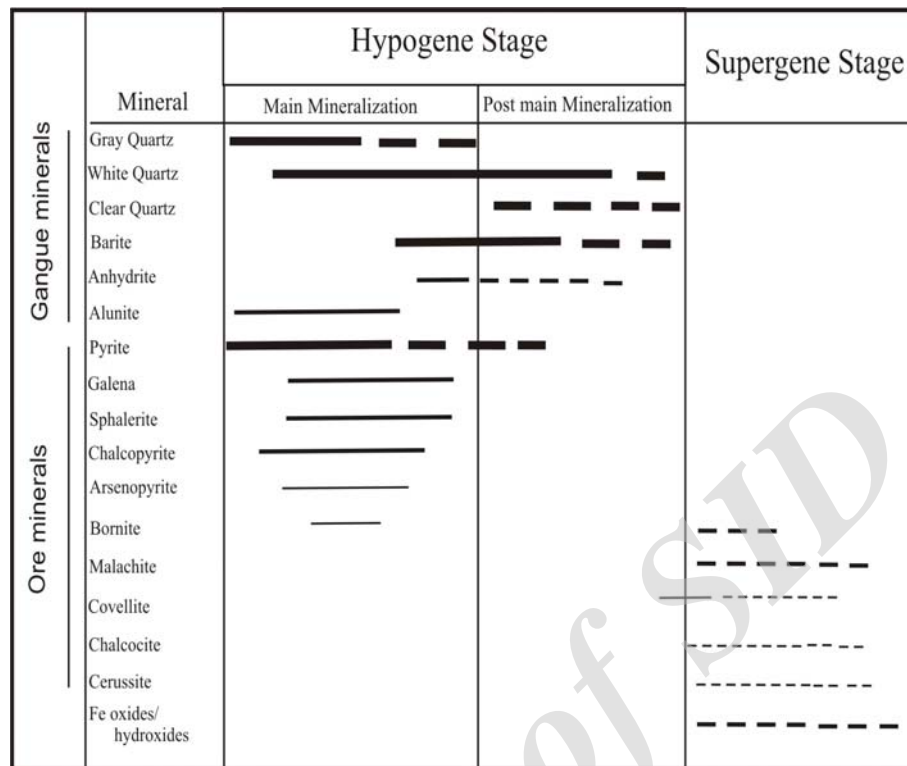
میان‌بارهای بررسی شده به طور عمده از نوع اولیه و به مقدار کمتر شبه ثانویه، مطابق با معیارهای رودر (Roedder, 1984) هستند. میان‌بارها اغلب به شکل‌های نامنظم، بیضوی، دوکی و کشیده هستند.

کالکوپیریت بعد از پیریت فراوانترین کانی فلزی مرحله اصلی کانی‌سازی محسوب می‌شود، این کانی اغلب به صورت نیمه وجهه دار تا بی‌وجهه حضور داشته و اندازه آن بین ۴۰ تا ۳۰۰ میکرون است. اسفالریت به صورت نیمه‌وجهه دار تا بی‌وجهه بوده و ابعاد آن ۵۰۰ تا ۵۰۰ میکرون است. اسفالریت گاه حاوی ادخال‌هایی از پیریت و کالکوپیریت است. نتایج حاصل از ریزکاو الکترونی حضور طلا در شبکه اسفالریت را نشان می‌دهد (جدول ۱). گالن فراوانی کمتری نسبت به اسفالریت دارد و به صورت بلورهای درشت (۵۰۰ تا ۲۰۰ میکرون) دیده می‌شود (شکل ۹-B). آرسنپیریت به صورت نیمه وجهه دار با ابعاد ۵۰ تا ۱۰۰ میکرون به مقدار کم در مجاورت پیریت دیده می‌شود. طلا بیشتر به صورت ذرات میکروسکوپی و زیر میکروسکوپی در کوارتز و کانی‌های سولفیدی قرار دارد. زانوزی (Zanoozi, 2006) در نمونه‌ای از عمق ۱۳۷ متری گمانه Bh11، یک بلور طلا به اندازه ۱۳ میکرون را به صورت انکلوزیون در داخل کانی کالکوپیریت گزارش کرده است. بورنیت و کوولیت به مقدار بسیار کم و به صورت اولیه و به شکل بلورهای بی‌وجهه در مرحله کانی‌سازی تشکیل شده است. باریت از اواخر کانی‌سازی اصلی به صورت توده‌ای همراه با کوارتز شیری تشکیل شده است. مقادیری از باریت به همراه ایندریت و کوارتز شفاف در حفرات و شکستگی‌های کوچک و باز تشکیل شده‌اند که با مقادیر کمی کانی فلزی همراهی می‌شوند. ایندریت به صورت رشت‌های و دانه‌ای در شکستگی‌ها و حفرات رگه سیلیسی دیده می‌شود (شکل ۹-D). این مرحله بدون کانی‌سازی مهم است. پس از بالا‌آمدگی و فرسایش سنگ‌های روپوش، کانسنگ دستخوش اکسایش و هوازدگی شده است؛ در نتیجه این واکنش‌ها، کانی‌های سولفیدی ناپایدار شده، به گروهی از کانی‌های ثانوی تبدیل شده‌اند. مهمترین این کانی‌ها شامل اکسید-هیدروکسید آهن، مالاکیت و سروزیت است. کالکوپیریت و بورنیت در بخش‌های سطحی و کم‌عمق به اکسید-هیدروکسید آهن تجزیه شده و بخشی از مس آنها شسته شده است. مس شسته شده، در بخش‌های عمیق‌تر و زیر سطح



شکل ۹. رگه‌های کوارتز طلدار در مسجدdaghi؛ A: دانه‌های متوسط تا درشت کوارتز، نمونه از عمق ۳۰ متری و گمانه BH3. B: همزیستی گالن و کالکوپیریت در زمینه سیلیسی؛ نمونه از عمق ۶۴ متری و گمانه BH4. C: پیریت‌های بی‌وجه مربوط به مرحله بعد از کانی‌سازی اصلی؛ نمونه از عمق ۷۰ متری و گمانه BH4. D: تصویری از ریزکاو الکترونی انیدریت رشتاهی، مربوط به مرحله آخر کانی‌سازی اصلی، نمونه مربوط به عمق ۵۳ متری گمانه BH3. E: پیریت وجه‌دار و نیمه وجه‌دار مربوط به مرحله کانی‌سازی؛ کالکوپیریت توسط کوولیت جانشین شده است؛ نمونه مربوط به عمق ۱۹ متری گمانه BH3 و F: جانشینی بورنیت و کالکوپیریت از حاشیه توسط کوولیت، که مربوط به مرحله سورپرزن است؛ نمونه از عمق ۲۳ متری و گمانه BH5 پیریت: Py، کوارتز: Q، انیدریت: Anh، کالکوپیریت: Ccp، بورنیت: Bn، گالن: Gn، کوولیت: Cv و بورنیت: Cv. حروف اختصاری کانیها از ویتنی و اوونز (Whitney and Evans, 2010)

Fig. 9. Gold bearing quartz vein in Masjed Daghi. A: Coarse to medium grains of quartz, sample from borehole Bh3, 30m depth, B: Coexisting of chalcopyrite and galena in silicic groundmass, sample from borehole Bh4, 64m depth, C: Anhedral pyrites related to the post main mineralization, sample from borehole Bh4, 70m depth, D: Microprobe image of specular anhydrite from the late stage of main mineralization, sample from borehole Bh3, 53m depth, E: Euohedral to subhedral pyrite from the mineralization stage ; chalcopyrite replaced by covelite, sample from borehole Bh3, 19m depth, and F: Chalcopyrite replaced by bornite and covelite from the supergene mineralization, sample from borehole Bh5, 23m depth. (Galena:Gn, pyrite :Py, bornite: Bn, quartz: Q, anhydrite: Anh, chalcopyrite: Ccp, covelite: Cv). (Abbreviations after Whitney and Evans, 2010)



شکل ۱۰. توالی پارازنیکی مراحل کانی‌سازی در سیستم رگه‌ای مسجد داغی

Fig. 10. Mineral paragenesis for Masjed Daghi vein system

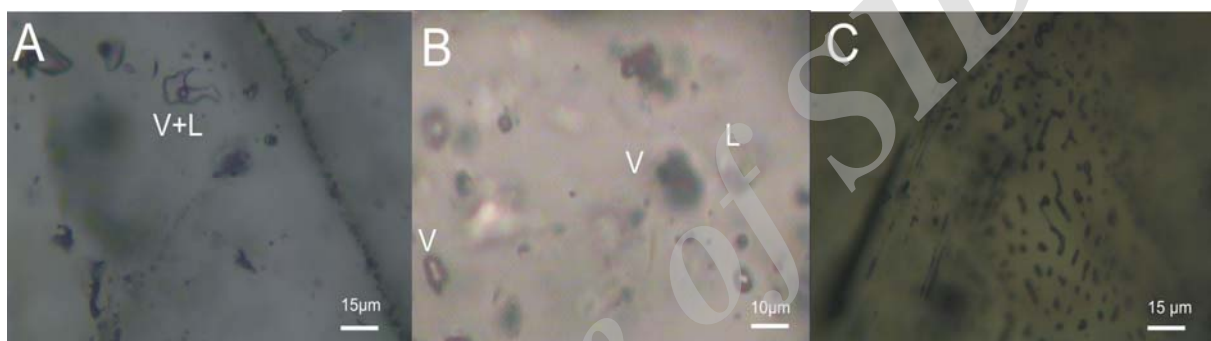
کوارتز خاکستری فاز غالب در رگه‌ها بوده و مربوط به مرحله اصلی کانی‌سازی است و بیشتر اندازه گیری‌ها روی این نوع کوارتز انجام شده است. اندازه میان‌بارهای مورد بررسی بین ۱۰-۲۰ میکرون است. این میان‌بارها اولیه بوده، به صورت پراکنده و گاه در امتداد مناطق رشد کانی کوارتز و به دور از شکستگی‌های ریز و میکروسکوپی قرار دارند (شکل ۱۱-A). همراهی میان‌بارهای غنی از بخار و غنی از سیال نیز در کوارتز مشاهده شد (شکل ۱۱-B). پدیده نازک‌شدگی در هیچ یک از دو نمونه کوارتز دیده نشد. اسفالریت به رنگ زرد و در حاشیه دانه‌ها قرمز تا قهوه‌ای بوده و مربوط به مرحله اصلی کانی‌سازی است. میان‌بارها اغلب به صورت نامنظم و کشیده است و گاه پدیده نازک‌شدگی را به نمایش می‌گذارند. میان‌بارهای اندازه گیری شده از نوع اولیه و پراکنده هستند و اندازه آنها بین ۱۰ تا ۱۵ میکرون است (شکل ۱۱-C).

دو نوع میان‌بار دو فازی غنی از مایع و غنی از بخار تشخیص داده شد. میان‌بارهای سیال غنی از مایع، حاوی ۹۰-۷۰ درصد مایع و ۱۰-۳۰ درصد بخار و میان‌بارهای سیال غنی از بخار، حاوی ۹۰-۶۰ درصد بخار و ۱۰-۴۰ درصد مایع هستند. آزمایش‌های ریزدماسنجی به طور عمده بر روی میان‌بارهای غنی از مایع که توسط ناپدیدشدن بخار همگن می‌شوند، انجام شده است. علت انتخاب میان‌بارهای غنی از مایع این است که به هنگام گرم شدن میان‌بارهای غنی از بخار (بیش از ۶۰ درصد بخار)، حباب بخار تیره‌رنگ به سرعت با حاشیه تیره میان‌بار (دیواره کانی میزبان) تداخل می‌کند و در این حالت خطای اندازه گیری بالا می‌رود؛ از این‌رو، برای پرهیز از خطاء، در بیشتر موارد از میان‌بارهای غنی از مایع استفاده شده است. با توجه به محتوای میان‌بارها و معیارهای تشخیص میکروسکوپی، هیچ شاهدی از حضور CO_2 مایع یا گاز و کانی‌های نوزاد در میان‌بارها دیده نشد.

اسفالریت بین ۱/۱ تا ۷/۶ درجه سانتی گراد به دست آمده است (جدول ۲). میزان شوری‌های به دست آمده (معادل درصد وزنی کلرید سدیم) برای میان‌بارهای سیال در کانی کوارتز، ۱۲/۸ تا ۱/۹ درصد و برای میان‌بارهای سیال در اسفالریت، ۱۱/۲ تا ۱/۹ درصد وزنی معادل نمک طعام است (جدول ۲). نمودارهای تغییرات دمای همگن‌شدگی و شوری سیالات در گیر در نمونه‌های کوارتز و اسفالریت در شکل ۱۲ آمده است.

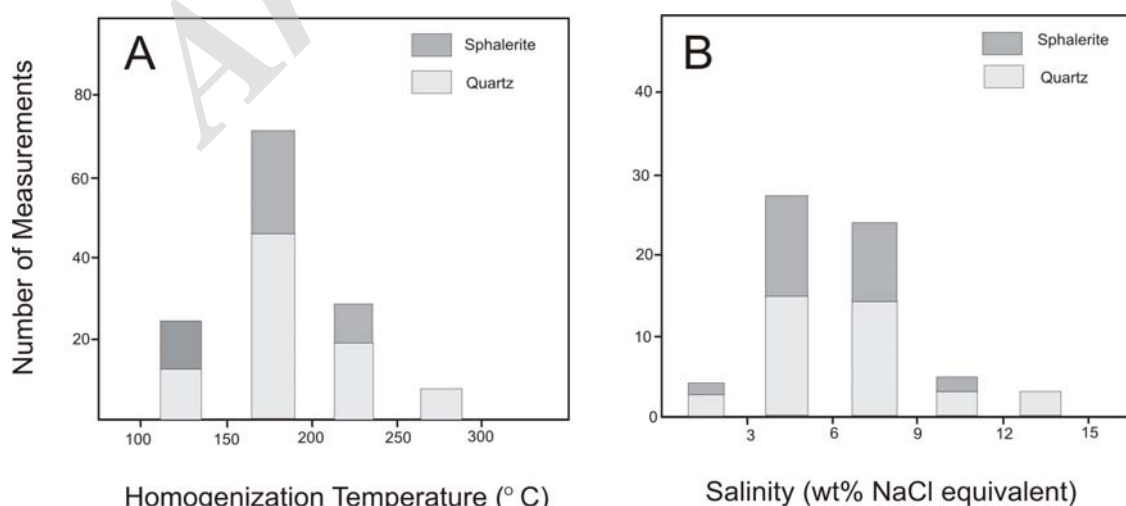
بررسی‌های ریزدماسنجی

آزمایش همگن‌سازی بر روی ۱۳۲ میان‌بار که اغلب اولیه و تعداد بسیار کمی ثانویه دروغین بوده‌اند، انجام شد. دمای همگن‌شدن برای میان‌بارهای سیال در کانی کوارتز ۱۲۳-۱۹۸ درجه سانتی گراد و برای میان‌بارهای سیال در اسفالریت ۱۱۲-۲۱۸ درجه سانتی گراد است (جدول ۲). تعیین دمای ذوب یخ بر روی ۶۲ میان‌بار انجام شد که برای میان‌بارهای سیال در کوارتز خاکستری بین ۹-۱/۱ تا ۱۱ درجه سانتی گراد و برای میان‌بارهای سیال در



شکل ۱۱. تصاویری از میان‌بارهای سیال در کانی‌های کوارتز و اسفالریت در کانسدرداغی، A: میان‌بارهای سیال در کانی کوارتز که از نوع اولیه هستند، B: همراهی میان‌بارهای غنی از بخار (V) و غنی از سیال (L) در کانی کوارتز و C: میان‌بارهای سیال در کانی اسفالریت، به پدیده نازک‌شدگی توجه نمایید.

Fig. 11. Fluid inclusion images in quartz and sphalerite from Masjed Daghi deposit, A: Primary fluid inclusion in quartz; B: Coexistence of liquid- rich (L) and vapor- rich (V) inclusions in - quartz; C: Fluid inclusion in sphalerite; some displaying necking down features.



شکل ۱۲. A: توزیع دمای همگن شدگی و B: شوری برای کانی‌های کوارتز و اسفالریت در رگه‌های طلدار مسجدداغی

Fig. 12. A: Distribution of the homogenization temperature, and B: Salinity for quartz and sphalerite from Masjed

Daghi gold bearing veins

جدول ۱. نتایج تجزیه ریزکاو الکترونی کانی‌های پیریت و اسفالریت در ذخیره رگه‌ای مسجدداغی. مقادیر بر حسب درصد وزنی، نمونه‌ها از عمق‌های ۷۰ متر و ۴۰ متری گمانه‌های Bh3، Bh4، Rg3 و V3 می‌باشند.

Table 1. Microprobe analysis of pyrite and sphalerite (%wt) in Masjed Daghi area vein type deposit; samples from 70m and 40m depths, Bh3 and Bh4, respectively, of V3 vein

Elements	Fe	Cu	Zn	Ag	Cd	Sb	Au	As	S	Total	Vein, Bore hole, Depth
Detection											
Limit											
WT.%											
Pyrite (n=4)											
	0.04	0.01	0.01	0.002	0.01	0.002	0.002	0.05	0.05	88.2-	V3-
	39.9-		0.012-		0.02-	0.026-	0.004-		52.9-		
	46.5		0.50		0.41	0.053	0.038		53.7	100.91	Bh4-
	(44.9)	<0.01	(0.18)	<0.002	(0.17)	(0.031)	(0.0235)	<0.05	(51.8)	(97.2)	40
Sphalerite (n=2)											
	0.62-		66.7-		0.29-				32.5-	100.2-	
	0.97		65.9		0.39				33.1	100.3	
	(0.82)	<0.01	(66.3)	<0.002	(0.34)	<0.002	<0.002	<0.05	(32.8)	(100.15)	
Pyrite (n=5)											
	46.4-	0.01-	0.02-		0.01-	0.01-	0.007-	0.1-	49.6-	99.0-	V3-
	47.9	0.06	0.04		0.1	0.05	0.02	3.2	53	101.4	Bh4-
	(47)	(0.03)	(0.03)	<0.002	0.07	(0.03)	(0.016)	(2)	(51.8)	(100.3)	40
Pyrite (n=5)											
	46.6-	0.01-	0.01-		0.05-		0.01-	0.35-	50.2-	98.2-	V3-
	47.3	0.04	0.05		0.1		0.04	0.03	53.7	101.3	Bh3 -
	(47.1)	(0.02)	(0.03)	<0.002	(0.08)	<0.002	(0.027)	(0.02)	(52.1)	99.9	70
Sphalerite (n=8)											
	0.4-	0.03-	55.8-	0.1-	0.02-	0.01-	0.01-		31.8-	98.1-	
	8.7	0.56	65.9	0.5	0.71	0.1	0.16		32.9	100.4	
	(3.4)	(0.29)	(62.3)	(0.26)	(0.39)	(0.07)	(0.05)	<0.05	(32.1)	(98.2)	

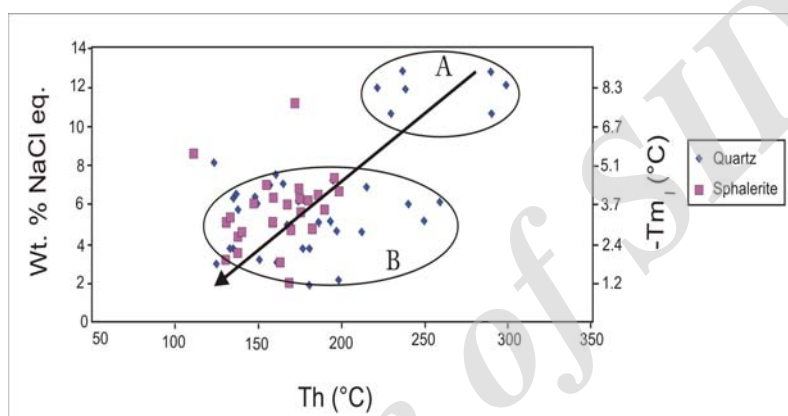
جدول ۲. داده‌های میان‌بار سیال برای کانی‌های کوارتز و اسفالریت در رگه‌های کوارتز طلدار مسجدداغی

Table 2. Fluid Inclusion data for Quartz and Sphalerite from Masjed Daghi gold bearing veins

Vein , Bore hole Depth	Mineral	FI Type	N	Th range	Th Avg.	Tm range	Salinity (wt% NaCl equiv.)	Phases
V3-Bh3-37	Gray Quartz	P	37	148-298	206	-1.2, -9	2, 12.8	L>V
V3- Bh3-38	Gray Quartz	P, PS	36	123-258	182	-1.1, -5.2	1.9, 8.1	L>V
V3- Bh3-64	Sphalerite	P	42	112-218	174	-1.1, -7.6	1.9, 11.2	L>V
V3- Bh3-91	Sphalerite	P	6	129-141	135	-1.9, -3.1	3.2, 5.1	L>V

سانتی گراد) که می‌تواند ناشی از سردشدن تدریجی یک سیال واحد باشد. در محدوده B، تغییرات شوری و دمای قابل ملاحظه‌ای در نمونه‌های کوارتز و اسفالریت دیده می‌شود (۱/۹) تا ۸/۱ درصد وزنی معادل NaCl و دمای ۲۶۰ تا ۱۲۰ درجه سانتی گراد) که می‌تواند ناشی از سردشدن سیال، جوشش، ورود متناوب سیال کانه‌ساز و رقیق شدگی باشد.

دمای همگن‌شدن برای اسفالریت، در مقایسه با کوارتز پایین تر است (۲۱۸-۱۱۲ درجه در برابر ۲۹۸-۱۲۳ درجه سانتی گراد). داده‌های میان‌بار سیال در کانی کوارتز خاکستری پراکندگی دو گانه نشان می‌دهد که در محدوده‌های A و B قرار گرفته‌اند (شکل ۱۳). در محدوده A سیال در محدوده شوری به نسبت یکنواخت (۱۰/۶ تا ۱۲/۸ درصد وزنی معادل Cl) تغییرات دمای قابل ملاحظه‌ای نشان می‌دهد (۲۲۰ تا ۳۰۰ درجه



شکل ۱۳. تغییرات دمای همگن‌شدن (Th) در برابر درجه ذوب بخ (Tm) برای کانیهای کوارتز خاکستری و اسفالریت در ذخیره مسجدdaghi. دمای همگن‌شدن و شوری سیال برای کوارتز خاکستری در دو محدوده A و B قرار گرفته است که می‌تواند بیانگر رقیق شدن یک سیال با دما و شوری بالا توسط سیالی با دما و شوری پایین و رخداد جوشش باشد.

Fig. 13. Distribution of (Th) vs. ice- melting ($T_{m(ice)}$) temperatures for grey quartz and sphalerite minerals in the Masjed Daghi deposit. Homogenization temperature and fluid salinity for grey quart exist in the two A and B areas which implying mixing of a saline, high temperature fluid with a lower salinity and cooler fluid, and the occurrence of boiling.

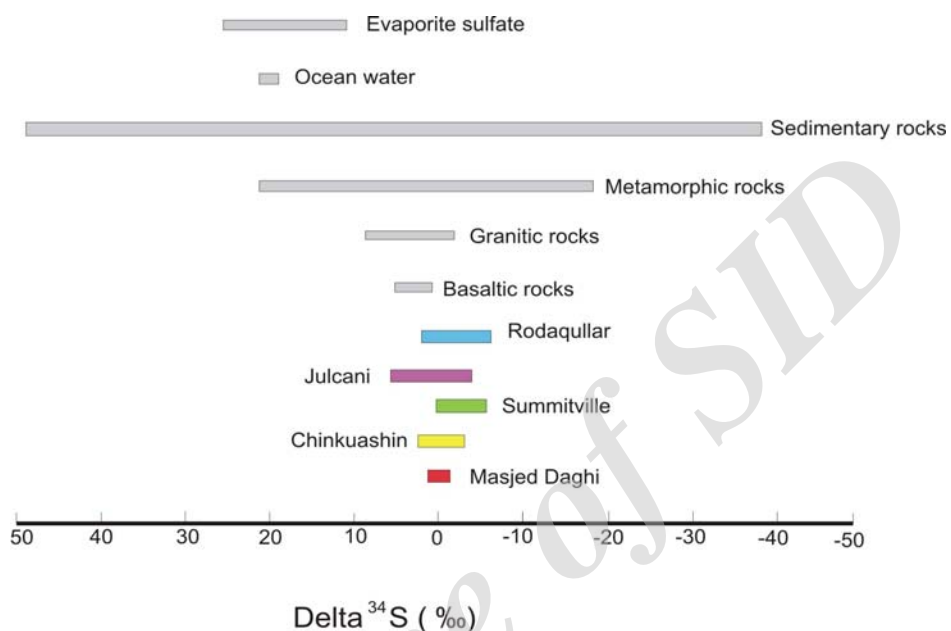
گوگرد موجود در مagmaهایی که مستقیماً از گوشه منشاء گرفته‌اند، مقداری ایزوتوبی نزدیک به صفر در هزار دارد (Hoefs, 2004). امروزه ثابت شده است مقداری ایزوتوبی گوگرد magmaهای کمانی به طور قابل توجهی متغیر بوده است و ممکن است دامنه‌ای بیش از ۱۰ در هزار داشته باشد. بررسی‌های ماندویل و همکاران (Mandeville et al., 2009) در کمانهای کالونگونگ و کراتا در اندونزی و کمان اگوستین در آلاسکا بیانگر تغییرات زیاد ایزوتوبی گوگرد (۳-۱۵+ در هزار) در این نواحی است که ناشی از آلدگی محیط منبع magma توسط سیال‌های آزادشده از تختال فرورونده، یا آلدگی به مواد پوسته‌ای به هنگام صعود magmaست. بررسی‌های انجام شده

مطالعه نسبت ایزوتوبی گوگرد

نسبت‌های ایزوتوبی هسته‌های پایدار، داده‌های ارزشمندی برای ردیابی منبع سیال‌ها و اجزای تشکیل‌دهنده کانسنگ در اختیار می‌گذارد (Ohmoto and Goldhabber, 1997). برای آگاهی از منبع گوگرد و فلزات، تعداد ۶ نمونه کانی سولفیدی شامل ۲ نمونه پیریت، ۲ نمونه اسفالریت، و ۲ نمونه گالن مربوط به مرحله اصلی کانی‌سازی برای نسبت ایزوتوبی گوگرد آنالیز شد. بررسی‌های کانهنگاری نشان می‌دهد کانی‌های گالن و اسفالریت در تعادل بافی هستند و می‌توانند مربوط به یک هم‌یافت باشند. مشخصات این نمونه‌ها و ترکیب ایزوتوبی آنها در جدول ۳ ارائه شده است.

در سنگ‌های مختلف و چند ذخیره اپی‌ترمال سولفید بالا همراه با مقادیر ایزوتوبی رگه‌های طلدار مسجدادگی نشان می‌دهد.

توسط آربیاس (Arribas, 1995) بر روی ذخایر اپی‌ترمال سولفید بالا نشان دهنده مقادیر ایزوتوب گوگرد در دامنه ۸- تا ۱۰ + در هزار است. شکل ۱۴ دامنه تغییرات ایزوتوب گوگرد را



شکل ۱۴. دامنه تغییرات $\delta^{34}\text{S}$ برای مخزن‌های مهم گوگرد (Hoefz, 2005) و چند ذخیره اپی‌ترمال سولفید بالا (Arribas, 1995) و رگه‌های طلدار مسجدادگی

Fig.14. Variations of $\delta^{34}\text{S}$ for various sulfur reservoirs (Hoefz, 2005) and selected high-sulfidation epithermal deposits (Arribas, 1995) and Masjed Daghi gold bearing veins

اوموتو و گلدhabber (Ohmoto and Goldhabber, 1997) برای اندازه‌گیری زمین دماستجی استفاده شده است. دمای تعادل ایزوتوبی در این دو جفت نمونه، ۸۰۰ و ۱۰۰۰ درجه سانتی‌گراد محاسبه شده است که بسیار متفاوت از دماهای به دست آمده از میانبارهای سیال است. بررسی‌های آزمایشگاهی نشان داده است که تعادل بافتی همیشه به معنای تعادل ایزوتوبی نیست و ممکن است این کانی‌ها در شرایط یکسان ایزوتوبی متبلور نشده باشند (Haghghi et al., 2013).

اگر ویژگی‌های فیزیکی-شیمیایی سیال کانه‌دار به تدریج تغییر کند، در این صورت کانی‌ها به آرامی رشد می‌کند و تعادل ایزوتوبی بین کانی‌های همیست برقرار

با استفاده از عامل تفکیک ایزوتوبی سولفید H_2S لی و لیو (Li and Liu, 2006) و مقادیر کمترین، میانگین و بیشترین دمای محاسبه شده از میانبارهای سیال (۱۲۰ و ۱۸۰ و ۳۰۰ درجه سانتی‌گراد)، ترکیب ایزوتوبی گوگرد سیال گرمابی بین $+3/6$ تا $-1/8$ - در هزار برای کمترین دما، $+2/7$ تا $-0/7$ - برای دمای میانگین $+1/2$ تا $+0/4$ - برای بیشترین دما تعیین می‌شود (جدول ۳). ضرب تفکیک ایزوتوبی بهشت به دما وابسته است (Ohmoto, 1986)؛ از این‌رو، می‌توان از ترکیب ایزوتوبی کانی‌های سولفیدی همیست در تعیین دمای تشکیل استفاده کرد (Ohmoto, 1986). بدین‌منظور، از دو جفت کانی اسفالریت-گالن با استفاده از ضرب تفکیک ارائه شده توسط

and Goldhabber, 1997) این گونه نبود تعادل ایزوتوبی در میان کانی‌های سولفیدی همیست، در بسیاری از ذخایر اپی‌ترمال که در ژرفای کمی از سطح زمین تشکیل می‌شوند، گداش شده است (Haghghi et al., 2013).

می شود؛ اما اگر تغییرات سریع باشد مانند آمیختگی با یک سیال سردتر، از دست رفتن سریع گرما ضمن چرخش در کمر سنگ های سردتر، یا فرآیند جوشش که با تغییرات فیزیکی-شیمیابی سریع و ناگهانی همراه است، در این صورت تهنشست سریع کانی ها باعث نبود تعادل ایزوتوپی می شود (Ohmoto

جدول ۳. داده‌های ایزوتوبی گوگرد در سیستم رگه‌ای مسجد داغی ($\delta^{34}\text{S}$ H_2S محاسبه شده از لی و لیو (Li and Liu, 2006))

Table 3. Sulfur isotope data from the Masjed Daghi vein system ($\delta^{34}\text{S}$ H_2S calculated from Li and Liu, 2006)

Number	Vein , Drill hole	Mineral	Values	$\delta^{34}\text{S}$ H ₂ S	$\delta^{34}\text{S}$ H ₂ S	$\delta^{34}\text{S}$ H ₂ S
of sample	Number and depth		of $\delta^{34}\text{S}$	(Th=120°C)	(Th=184°C)	(Th=300°C)
M-929	V3- Bh3- 64m	Pyrite	1.2	-1.4	-0.7	0.0
M- 936	V3- Bh4- 37m	Pyrite	0.8	-1.8	-0.9	-0.4
M- 938	V3- Bh3- 64m	Galena	-0.7	3.6	2.4	1.2
M- 939	V3- Bh3- 91m	Galena	-1.1	3	2	0.8
M- 923	V3- Bh3- 64m	Sphalerite	-0.2	-0.8	-0.7	-0.5
M- 924	V3- Bh3- 91m	Sphalerite	-0.2	-0.8	-0.7	-0.5

میزان pH سیال اولیه در واکنش با سنگ (Arribas, 1995) دیواره کاهش یافته است و از مرکز سیستم رگه‌ای به سمت بیرون، دگرسانی آرژیلیک پیشرفته با کانی‌های آلونیت، کوارتز، کاٹلینیت، باریت، پیریت و تورمالین را تشکیل می‌دهد (Emamalipour et al., 2010). تشکیل دگرسانی پیشرفتة با pH اسیدی در اطراف رگه‌های طلادار مسجداغی می‌تواند ناشی از آب‌های داغ شده با بخار باشد که توسط اکسیداسیون H_2S در محیط وادوز اتفاق می‌افتد (Hedenquist et al., 2000). در اغلب موارد، سیلیس توده‌ای و کوارتز حفره‌ای در مرکز سیستم‌های اپیترمال سولفید بالا مرز مشخصی را با دگرسانی آرژیلیک پیشرفته ایجاد می‌کند، گسترش این دو دگرسانی می‌تواند از ۷۰ سانتی‌متر (جولکانی^۱) تا بیش از ۵۰ متر (لیانتو^۲) متغیر باشد (Arribas, 1995). بدیلای نیود آنالیز

بحث و نتیجه گیری

رگه‌های طلدار مسجداغی در سنگ میزبان آندزیت تا تراکی آندزیت ائوسن قرار گرفته و بر اثر نفوذ سیالات گرمابی متحمل دگرسانی‌های سیلیسی، آرژیلیک پیشرفت، آرژیلیک و پروپیلیتیک شده است. حضور بافت کوارتز بازماندی (حفره‌ای) در رگه‌های طلدار مسجداغی از ویژگی‌های بارز ذخایر سولفید بالاست که توسط شست‌وشوی شدید از یک سیال اسیدی غنی از سولفات‌ها ($\text{pH} < 2$, $T = 250^\circ\text{C}$)، از فنوکریست های باقی‌مانده سنگ میزبان برجای می‌ماند (White and Heddenquist, 1990; Arribas, 1995). برای انحلال کانی‌های آلومینیم‌دار سنگ میزبان و تشکیل سیلیس بازماندی، علاوه بر سیال اسیدی سولفاتی، سیال اسیدی کلریدی ناشی از بخارات ماقمایی نیز می‌تواند نقش داشته باشد.

1. Julcani
2. Lepanto

پایه مناسبتر هستند (Seward and Barnes, 1997). دما و شوری سیال تشکیل‌دهنده ذخایر اپی‌ترمال سولفید بالا بین $NaCl$ ۹۰ تا ۴۸۰ درجه سانتی‌گراد و ۱ تا ۴۵ درصد وزنی است (Arribas, 1995). نتایج حاصل از بررسی‌های میان‌بارهای سیال در مسجدادگی نشان می‌دهد سیال مسؤول کانی‌سازی طلا رگه‌ای، دارای شوری و دمای متوسط تا پایین بوده است. شوری میان‌بارهای سیال در اسفالریت، بین $11/2-1/9$ درصد وزنی و در کوارتز، $1/9$ تا $12/8$ درصد وزنی معادل نمک طعام به دست آمده است. تغییرات گسترده شوری سیال در کانسارهای گرمابی، می‌تواند ناشی از رقيق‌شدن تدریجی سیال در طول زمان کانی‌سازی باشد (Heinrich, 2005). یک الگوی توزیع دوگانه در شوری میان‌بارهای سیال و رقيق‌شدن در نمونه‌های مورد بررسی وجود دارد (شکل ۱۳). این گونه توزیع داده‌های شوری و رقيق‌شدن می‌تواند نشانگر درآمیختگی سیال مانند ورود یک سیال با شوری بیشتر به درون یک سیال با شوری کمتر، جوشش سیال نسبتاً شور و یا جذب بخارات ماقمایی یا سورابها توسط آب‌های جوی کم عمق باشد (Albinson et al., 2001; Cook and Simmons, 2000) سیال با شوری بیشتر می‌تواند منشأ ماقمایی داشته باشد و مسؤول حضور فلزات پایه نیز باشد. توزیع دوگانه شوری می‌تواند به دلیل جوشش نیز ایجاد شود؛ بدین صورت که سیال با شوری کمتر، محصول تراکم فاز بخار است که شوری بسیار پایینی دارد و سیال با شوری بیشتر، فاز آبگون بازمانده است. شواهد جوشش در رگه‌های طladar مسجدادگی توسط برش گرمابی و همنشینی یا هم‌آیندی میان‌بارهای غنی از مایع و غنی از بخار تأیید می‌شود (Roedder, 1984). دمای حاصل از میان‌بارها نشان می‌دهد تشکیل کانسنگ بین 112 تا 298 درجه سانتی‌گراد رخ داده است. این تغییرات دما می‌تواند ناشی از سرد شدن سیال گرمابی کانه‌ساز در طول زمان کانی‌سازی و یا آمیختگی آن با یک سیال سردتر (آب جوی) باشد. اندازه‌گیری‌های Tm_i در برابر Th در شکل ۱۳ برای کانی کوارتز و اسفالریت روندی خطی در جهت رقيق‌شدن سیال نشان می‌دهند. این داده‌ها نشان می‌دهد سیال

سیستماتیک XRD برای تشکیل دگرسانی آرژیلیک پیشرفته و متوسط، گسترش دقیق این دگرسانی در منطقه مسجدادگی مشخص نیست. دگرسانی آرژیلیک حدواتسط با ترکیب کانی‌شناسی کائولینیت، اسمکتیت، ایلیت، کوارتز و سریسیت در اثر خنثی‌شدن سیال اسیدی ایجاد شده و در ادامه خارجی ترین زون دگرسانی (پروپیلیتیک) با ترکیب کلریت، کربنات، ایلیت و اسمکتیت تشکیل شده است.

کانی‌سازی رگه‌ای مسجدادگی به صورت رگه و رگه‌چه‌های کوارتز و کوارتز-باریت، توده‌ای و برش گرمابی با سیمان کوارتز است. این نوع برش، حاصل چیرگی فشار بخار سیال گرمابی (فشار هیدروستاتیک) بر فشار لیتوستاتیک است که با شکستن و خرد شدن سنگ‌های مسیر مهاجرت سیال‌های گرمابی در ژرفای کم رخ می‌دهد (Browne, 1978). کانی‌سازی با کوارتز خاکستری و پیریت آغاز شده است که با مقادیر متفاوتی گالن، اسفالریت، بورنیت، کالکوپیریت و باریت همراهی می‌شوند. بر اساس بررسی‌های وايت و هدنکوئیست (White and Hedenquist, 1995) کانیهای غالب ذخایر اپی‌ترمال سولفید بالا شامل پیریت (فراوانی بالا)، انارژیت و لازونیت (فراوانی متغیر) هستند که با کانی‌های ترائفیریت، بورنیت، کوولیت، کالکوپیریت، اسفالریت و گالن همراهی می‌شوند. بر اساس بررسی‌های انجام شده در منطقه مسجدادگی کانی‌های انارژیت و لازونیت گزارش نشده است که از این جهت مشابه با ذخیره پارادایس پیک^۱ است. کانی‌های باطله در این نوع ذخایر کوارتز دانه ریز (کانی غالب) بوده و باریت، آلونیت و کائولینیت کانی‌های فرعی را تشکیل می‌دهند. تشکیل کانی‌های آلونیت و کائولینیت بیانگر محیط اسیدی است که شرایطی مناسب را برای انتقال طلا به صورت لگاندهای بسی سولفیدی فراهم می‌آورد (Seward, 1973). از طرفی حضور عناصر فلزات پایه (سرپ، روی و مس) نشان می‌دهد که دست کم بخشی از طلا به صورت لگاندهای کلریدی حمل شده است؛ زیرا کمپلکس‌های کلریدی زیر شرایط pH اسیدی نزدیک به خنثی در دمای بالاتر از 250 درجه سانتی‌گراد برای حمل فلزات

ارتباط مکانی نزدیک ذخایر پورفیری و اپی‌ترمال در بسیاری از ذخایر دنیا گزارش شده است (John et al., 1999).

بررسی‌های پتروگرافی و کانه‌نگاری مغزه‌های حفاری نشان می‌دهد که کانی‌سازی طلای رگه‌ای مسجدادگی در عمق به کانی‌سازی مس- طلا نوع پورفیری منتهی می‌شود (شکل‌های ۳ و ۶). شواهد صحرایی و داده‌های حاصل از گمانه‌های عمیق مربوط به سیستم پورفیری که سیستم رگه‌ای را در محدوده رگه‌های V4 تا V1 قطع کرده‌اند، نشان‌دهنده رخداد کانی‌سازی مس- طلا پورفیری در زیر رگه‌های طladar است. در محدوده این گمانه‌ها، با افزایش عمق غنی‌شدگی آشکار مس و مولیدن دیده می‌شود که خود تأییدی بر کانی‌سازی مس پورفیری در عمق است.

مدل‌های بسیاری برای ذخایر اپی‌ترمال سولفید بالا رائمه شده است (Sillitoe, 1989; Giggenbach, 1992; Rye, 1993). در بیشتر این مدل‌ها منشأ این نوع ذخایر و محتوی فلزی آنها از یک سیستم هیدروترمال مانگمازی تأمین شده است. از آنجا که بررسی‌های حاضر بر روی رگه‌های طladar مسجدادگی بوده و سیستم پورفیری کمتر مورد بررسی قرار گرفته است، اظهار نظر قطعی در مورد ارتباط ژنتیکی بین آنها کاری دشوار خواهد بود؛ اما با توجه به گسترش کم دگرسانی آرژیلیک پیشرفت، نبود کانی‌های سولفیدی انارژیت و لازونیت، همپوشانی دگرسانی‌های آرژیلیک و سیلیسی با دگرسانی پتاسیک در عمق (شکل‌های ۳ و ۶)، ممکن است ذخیره اپی‌ترمال مسجدادگی در اثر خروج سیالات بعدی توده نفوذی کوارتز مونزودیوریت پورفیری تشکیل شده باشد و به صورت رونقش بر روی ذخیره پورفیری قرار گرفته باشد.

قدرتمند

از جناب آقای مهندس بهروز برقا مدیریت محترم گروه اکتشاف که امکان دسترسی ما را به داده‌های منطقه فراهم کردند، تشکر می‌کیم. همچنین، از راهنمایی‌های ارزنده علمی جناب آقای دکتر محمود مهرپرتو و جناب آقای مهندس علیرضا باباخانی در تهیه نقشه ۱:۱۰۰۰ زمین‌شناسی - معدنی سپاس گزاریم. بر خود

اولیه (احتمالاً مانگمازی) دارای شوری بالا بوده و به تدریج رقيق شده است.

نسبت ایزوتوپی گوگرد سیال کانه‌ساز در ذخیره اپی‌ترمال مسجدادگی در بازه $1/1\text{--}1/2\text{\%}$ است که می‌تواند نشانگر منبع مانگمازی گوگرد باشد، به این صورت که گوگرد یا به طور مستقیم از مانگمازی منشأ گرفته یا این که از شست‌وشوی کانی‌های سولفیدی سنگهای آذرین محل به دست آمده است. با توجه به دامنه تغییرات ایزوتوپی کوچک و نزدیک به صفر در هزار در کانی‌های سولفیدی مسجدادگی که در دامنه $+1/2\text{--}1/1$ قرار گرفته‌اند، می‌توان یک منبع مانگمازی (مستقیم یا غیر مستقیم) برای گوگرد و احتمالاً فلزات در نظر گرفت (جدول ۳). در این صورت، منطقه منع دستخوش آلودگی چندانی به گوگرد پوسته‌ای نشده است.

ترکیب ایزوتوپی گوگرد کانی‌های سولفیدی در سیستم‌های گرمابی، تابع ویژگی‌های ایزوتوپی محیط منبع، هم‌بافت کانی، دمای تشکیل کانسنگ و حالت اکسایش سیال است که به نوبه خود، بود یا نبود کانی‌های سولفاتی را همراه با کانی‌های سولفیدی کنترل می‌کند (Ohmoto and Goldhabber, 1997) با توجه به ضریب تفکیک ایزوتوپی بزرگ بین سولفید- سولفات، حتی تشکیل مقدار کمی سولفات می‌تواند نسبت ایزوتوپی سولفیدها را به سمت مقادیر منفی هدایت کند. این رابطه در مورد ذخایر اپی‌ترمال کمربند ترود- چاه شیرین به خوبی مشخص شده است (Haghghi et al., 2013).

ویژگی‌های کانسار طلای رگه‌ای مسجدادگی علی‌رغم نبود کانی‌های سولفید بالا مانند انارژیت و لازونیت، با توجه به چیرگی کالکوپیریت بر گالن و اسفالریت، حضور باریت و انیدریت و نبود کربنات‌ها، همچنین حضور آلونیت، کائولینیت و کوارتز بازماندی، ویژگی‌های سیستم‌های اپی‌ترمال سولفید بالا را نشان می‌دهد. نسبت ایزوتوپی گوگرد، مقادیر شوری سیال و ارتباط مکانی رگه‌های طladar با توده نفوذی کوارتز مونزودیوریت پورفیری پیشنهاد می‌کند که بخش مهمی از سیال گرمابی و اجزای تشکیل‌دهنده کانسنگ، از یک منبع مانگمازی منشأ گرفته شده است.

ساسکاتچوان و همچنین سازمان زمین‌شناسی کشور در انجام عملیات صحرایی و آنالیزهای شیمیایی انجام شده است که مراتب سپاس و قدردانی خود را اعلام می‌داریم. همچنین از سردبیر محترم جناب آقای دکتر کریم‌پور و دیگر مسؤولان محترم نشریه زمین‌شناسی اقتصادی و داوران گرامی که با دقت نظر خود، نکات ارزشمندی را در جهت بهبود این مقاله ارائه نموده‌اند، تشکر و سپاس گزاری می‌شود.

لازم می‌دانیم از جناب آقای مهندس امینی آذر مدیریت وقت سازمان زمین‌شناسی تبریز به‌دلیل همکاری‌های ارزنده تشکر نماییم. همچنین از مسؤولان آزمایشگاه‌های دانشگاه ساسکاتچوان کانادا بهویژه آقای دکتر تام بونلی مسؤول آزمایشگاه الکترون میکروپروب و آقای بلین نواکوسکی مسؤول تهیه مقاطع نازک و دوبر صیقلی برای انجام سخاوتمندانه نمونه‌ها، تشکر و قدردانی می‌نماییم. انجام این پژوهش با کمک‌های مالی دانشگاه

References

- Abdollahi, M.R., Hosseini, M. and Eftekharnejad, J., 1996. Geological map of Julfa, scale 1:100000. Geological Survey of Iran. (in Persian with English abstract)
- Adeli, Z., Rasa, I. and Darvishzadeh, A., 2013. Geochemistry and origin of Haftcheshmeh Cu-Porphyry deposit magma, east Azerbaijan, Iran. Scientific Quarterly Journal of Geoscience, 23(90): 199-208. (in Persian with English abstract)
- Akbarpour, A., Rasa, I., Mehrpartou, M. and Mohammadi, B., 2003. Gold mineralization in Masjedehdahji area. Scientific Quarterly Journal of Geoscience, 11(62): 2-10. (in Persian with English abstract)
- Alavi, M., 1991. Tectonic map of the Middle East, scale 1: 5, 000, 000. Geological Survey of Iran.
- Albinson, T., Norman, D.I., Cole, D. and Chomiak, B., 2001. Control on formation of low-sulfidation epithermal deposits in Mexico: Constraint from fluid inclusion and stable isotope data. In: T. Albinson and C.E. Nelson (Editors), New Mines and Discoveries in Mexico and Central America. Society of Economic Geologists, Special Publication 8, Littleton, pp. 1- 32.
- Alirezaei, S., Ebrahimi, S. and Pan, Y., 2008. Fluid inclusion characteristics of epithermal precious metal deposits in the Arasbaran metallogenic zone, Northwestern Iran. 2nd Symposium of Asian Current Research on Fluid Inclusions (ACROFI-2), Indian Institute of Technology, Kharagpur, India.
- Arribas, Jr. A., 1995. Characteristics of high-sulfidation epithermal deposits, and their relation to magmatic fluid. In: J.F.H. Thompson (Editor), Magmas, Fluids, and Ore Deposits. Mineralogical Association of Canada Short course, Canada , V. 23, pp. 419-454.
- Browne, P.R.L., 1978. Hydrothermal alteration in active geothermal field. Annual Review of Earth and Planetary Sciences, 6(2): 229- 250.
- Cook, D.R. and Simmons, S.F., 2000. Characteristics and genesis of epithermal gold deposits. In: S.G. Hagemann and P.E. Brown (Editors), Reviews in Economic Geology. Society of Economic Geologists, Special Publication 13, Littleton, pp. 221- 244.
- Deen, J.A., 1990. Hydrothermal ore deposition related to high-level igneous activity: A stable isotope study of the Julcani mining district, Peru. Ph.D. Thesis, University of Colorado, Boulder, Colorado, USA, 120 pp.
- Ebrahimi, S., Alirezaei, S. and Pan, Y., 2011. Geological setting, alteration, and fluid Inclusion characteristics of Zaglic and Safikhanloo epithermal Gold prospects, NW Iran. Geological Society of London, Special Publication, 350: 133-147.
- Emamalipour, A., Abdoli Eslami, H. and Hajalilou, B., 2010. Geochemistry investigation of hydrothermal alteration related to gold epithermal mineralization in the Masjed Dagh area, west Julfa, northwest Iran. Journal of Economic Geology, 3(2): 199-213. (in Persian with English abstract)
- Giggenbach, W.F., 1992. Magma degassing and mineral deposition in hydrothermal systems along convergent plate boundaries. Economic Geology, 87(8): 1927-1944.
- Hassanpour, Sh., Alirezaei, S., Selby, D. and Sergeev, S., 2015. SHRIMP zircon U-Pb and biotite and hornblende Ar-Ar geochronology

- of Sungun, Haftcheshmeh, Kighal, and Niaz porphyry Cu-Mo systems: evidence for early Miocene porphyry – style mineralization in northwest Iran. *International Journal of Earth Sciences*, 104(1): 45-59.
- Haghghi, E., Alirezaei, S. and Ashrafpour, E., 2013. Mineralization, alteration and ore fluid characteristic in Cheshmeh hafez base and precious metals deposit, Toroud- Chahshirin range, north central Iran. *Scientific Quarterly Journal of Geosciences*, 22(88): 99-110. (in Persian with English abstract)
- Hedenquist, J.W., Arribas, A. and Gozales-Urien, E., 2000. Exploration for epithermal gold deposits. In: S.G. Hagemann and P.E. Brown (Editors), *Reviews in Economic Geology*. Society of Economic Geologists, Special Publication 13, Littleton, pp. 245- 277.
- Heinrich, C.A., 2005. The physical and chemical evolution of low- salinity magmatic fluids at the porphyry to epithermal transition: a thermodynamic study. *Mineralium Deposita*, 39(8): 864-869.
- Hoefs, J., 2004. Stable isotope geochemistry. Springer –Verlog, Berlin, 170 pp.
- John, D.A., Garside, L.J. and Wallace, A.R., 1999. Magmatic and tectonic setting of late Cenozoic epithermal gold – silver deposits on northern Nevada, with an emphasis on the Pah Rah and Virginia ranges and the northern Nevada rift. In: J.A. Kisiz, (Editor), *Low - sulfidation gold deposits in norther Nevada. V.29*. Geological Society of Nevada, Special Publication, pp. 65-158.
- Karimzadeh Somarin, A., 2004. Geochemical effects of endosakarn formation in the Mazraeh Cu-Fe skarn deposit in northwestern Iran. *Geochemistry Exploration Environment Analysis*, 4(2): 307-315.
- Karimzadeh Somarin, A. and Hosseinzadeh, G., 2002. Mineralogy of the Anjerd skarn deposit, Ahar region, NW Iran. International Mineralogical Association, Edinburgh, Scotland, 271 pp.
- Karimzadeh Somarin, A., Moayyed, M. and Hosseinzadeh, G., 2002. Ore mineralization in the Sonajil porphyry copper deposit, Herris region, NW Iran. International Mineralogical Association, Edinburgh, Scotland, 271 pp.
- Li, Y.B. and Liu, J.M., 2006. Calculation of sulfur isotope fractionation in sulfides. *Geochemica et Cosmochimica Acta*, 70(6): 1789-1795.
- Mandeville, C.W., Webster, J., Tappen, Ch., Taylor, B., Timbal, A., Sasaki, A., Hauri, E. and Bacon, C.R, 2009. Stable isotope and petrologic evidence for open- system degassing during the climactic and pre-climatic eruptions of Mt. Mazama, Crater Lake, Oregon. *Geochimica et Cosmochimica Acta*, 73(8): 2978-3012.
- Mehrpartou, M., 1993. Contribution to the geology, geochemistry, ore genesis and fluid inclusion investigations on Sungun Cu- Mo porphyry deposit (North- West of Iran). Unpublish Ph.D. Thesis, Hamburg University, Hamburg, Germany, 150 pp.
- Mohammadi, B., Aliakbari, H., Fard., M. and Samaee, A., 2005. Geology and drilling report of Masjed Daghi area (scale 1:1000). Geological Survey of Iran, Tehran, Report 340, 130 pp. (in Persian)
- Mohammadi, B., Bayaz, A. and Mehrpartou, M., 2000. Gold exploration in the Safikhanlou and Youseflou (Zaglic), SE Ahar. Geological Survey of Iran, Tehran, Report 231, 80 pp. (in Persian)
- Mokhtari, A.A., Yarmohammadi, A., Abedian, N., Borna, B. and Eshghabadi, M., 2007. Polymetal exploration in the Gharechlar- Anigh area. Geological Survey of Iran, Tehran, Report 382, 181 pp. (in Persian)
- Nabavi, M.H., 1976. An Introduction to Geology of Iran. Geological Survey of Iran, Tehan, 109 pp. (in Persian)
- NICOCO, 2009. Geology and drilling report of the Masjed Daghi area. National Iranian Copper Company, Report 243, 115 pp. (in Persian)
- Ohmoto, H., 1986. Stable isotope geochemistry of ore deposits. *Reviews in Mineralogy and Geochemistry*, 16(2): 491-559.
- Ohmoto, H. and Goldhaber, M.B., 1997. Sulfur and carbon isotopes. In: H.L. Barnes (Editor), *Geochemistry of hydrothermal ore deposits*. John Wiley and Sons, New York, pp. 509-567.
- Pournik, P., 2006. Gold exploration in the Sharafabad area, NW Varzaghan. Geological Survey of Iran, Tehran, Report 320, 170 pp. (in Persian)
- Roedder, E., 1984. Fluid inclusions: *Reviews in mineralogy*. V. 12. Mineralogical Society of America, Virginia, USA, 646 pp.
- Rye, R.O., 1993. The evolution of magmatic fluids in the epithermal environment: The

- stable isotope perspective. *Economic Geology*, 88(3): 733-753.
- Seward, T.M., 1973. Thio complexes and the transport of gold in hydrothermal ore solutions. *Geochemica et Cosmochimica Acta*, 37(2): 370-399.
- Seward, T.M. and Barnes, H.L., 1997. Metal transport by hydrothermal are fluid. In: H.L. Barnes (Editor), *Geochemistry of Hydrothermal ore deposits*. John Wiley and Sons, New York, pp. 435-486.
- Sheikh, S., Calagari, A.A. and Abedini, A., 2010. The mineralogy of alteration systems in Masjeddagh, east of Jolfa, east Azerbaijan Province. *Iranian Journal of Crystallography and Mineralogy*, 17(4): 579-590 pp. (in Persian with English abstract)
- Sillitoe, R.H., 1989. Gold deposits in the western pacific island arcs: The magmatic connection. *Economic Geology*, Monograph, 6(2): 274-291.
- White, N.C. and Hedenquist, J.W., 1990. Epithermal environments and styles of mineralization: variations and their causes, and guidelines for exploration. *Journal of Geochemical Exploration*, 36(3): 445-474.
- Whitney, D.L. and Evans, B.W., 2010. Abbreviations for names of rock-forming minerals. *American Mineralogist*, 95(2): 185-187.
- Yaddollahi, R., Kananian, A., Maanijou, M., Sarjoghi, F. and Hassanpour, Sh., 2011. Adakiti magmatism in Masjeddagh area, Julfa, East Azarbaijan. *Iranian Journal of Crystallography and Mineralogy*, 20(2): 297-320. (in Persian with English abstract)
- Zanoozi, R., 2006. Mineralogy and genesis of the gold mineralization in the Masjed Daghi area. M.Sc. Thesis, Islamic Azad University, Science and Research Branch, Tehran, Iran, 134 pp. (in Persian with English abstract)